



**TURUN
YLIOPISTO**

TULOKOODEISTA JA NIIDEN DEKODAUKSESTA

Iiris Mattila

Pro gradu -tutkielma
Toukokuu 2023

MATEMATIIKAN JA TILASTOTIETEEN LAITOS

Turun yliopiston laatu­järjestelmän mukaisesti tämän julkaisun alkuperäisyys on tarkastettu Turnitin OriginalityCheck-järjestelmällä

TURUN YLIOPISTO
Matematiikan ja tilastotieteen laitos

Iiris Mattila: Tulokooeista ja niiden dekodauksesta
Pro gradu -tutkielma, 40 s.
Matematiikka
Toukokuu 2023

Tulokoodit ovat matriisimuotoisia kooeja. Tulokoodin sana muodostetaan järjestämällä kahden lähtökoodin sanat matriisimuotoon niin, että vaakarivit ovat toisen lähtökoodin sanoja ja pystyrivit toisen lähtökoodin sanoja. Tulokoodien dekodauksessa hyödynnetään lähtökoodien dekodausalgoritmeja.

Tutkielmassa aloitetaan tulokoodien dekodauksen tutkiminen dekodamalla tulokoodin sana ensin pystyriveittäin pystyrivikoodin dekooderilla ja sitten vaakariveittäin vaakarivikoodin dekooderilla. Havaitaan, että virhevektorin kuvio vaikuttaa siihen, saadaanko virhe dekodattua. Eräillä kuvioilla pystytään dekodamaan yli puoleen minimietäisyydestä, mutta tiettyjä virhekuvioita ei saada tällä dekooderilla dekodattua, vaikka niiden paino alittaisikin koodin virheenkorjauskyvyn.

Tutkielmassa esitellään kaksi kehittyneempää tulokoodien dekodausalgoritmia, joilla saadaan korjattua kaikki minimietäisyyden määrittämät virheet ja pyyhkiymät. Näistä toista voi käyttää silloin, kun lähtökooeista toinen on majoriteettilogiikalla dekodattava. Toinen algoritmi sopii mille tahansa lähtökooeille.

Tulokoodien yksinkertaisesta rakenteesta johtuen ne sopivat pehmeän päätöksen SISO-dekodaukseen. SISO-dekoodausta käytettäessä tulokoodit ovat kilpailukykyisiä ja kiinnostavia joidenkin käytännön sovellusten kannalta.

Asiasanat: virheitä korjaavat koodit, tulokoodit, virheiden ja pyyhkiymien dekodaus.

Sisältö

1	Johdanto	1
2	Taustatietoja	4
2.1	Koodausteorian peruskäsitteitä	4
2.2	Kroneckerin tulo	5
2.3	Yksinkertaisista kanavamalleista	6
3	Tulokoodien rakenne ja perusominaisuudet	9
3.1	Johdattelevia esimerkkejä tulokoodista	9
3.2	Tulokoodin parametrit	11
3.3	Tulokoodin generaattorimatriisi	13
4	Dekoodauksesta yleisesti	16
4.1	Dekoodaus BEC-kanavassa	16
4.2	Majoriteettilogiikka	17
4.3	Forneyn yleistetyn minimietäisyyden algoritmi	20
5	Tulokoodien dekodaus	23
5.1	Johdanto dekodaukseen	23
5.2	Ryöppyvirheet	23
5.3	Pyyhkiymien hyödyntäminen tulokoodin dekodauksessa	26
5.4	Wainbergin majoriteettilogiikka-algoritmi	29
5.5	Wainbergin yleinen dekodausalgoritmi	32
6	Lopuksi	35
6.1	Peittosäteestä	35
6.2	Tulokoodien laajennuksia	36
6.3	SISO-dekodaus	37
6.4	Yhteenveto	37
	Kirjallisuutta	39

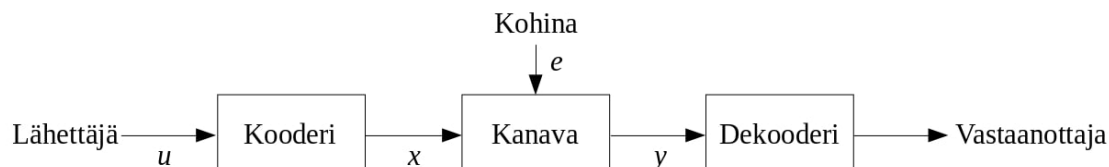
1 Johdanto

Koodausteoria tutkii, miten informaatio koodataan niin, että vastaanottaja saa korjattua kanavassa syntyvät virheet ja siten palautettua alkuperäisen viestin. Virheitä korjaavia koodeja käytetään nykyään kaikissa kommunikaatiosysteemeissä ja digitaalisissa tallennusvälineissä. Koodausteoriaa on tutkittu 40-luvulta alkaen. Shannon osoitti vuonna 1948, että mielivaltaisen pieni virhetodennäköisyys on mahdollista saavuttaa, kunhan koodin informaatio suhde ei ylitä kanavan kapasiteettia [21]. Seuraavina vuosina Golay ja Hamming kehittivät ensimmäisiä virheitä korjaavia koodeja [8, 9].

Hammingin ja Golayn konstruoimat koodit ovat alan perusteita, jotka sopivat erinomaisesti ideoiden kuvailemiseen, ja tämän tutkielman esimerkeissä käytetäänkin Hammingin koodeja. Toimiakseen Shannonin lause kuitenkin edellyttää pitkiä koodeja, jotta virheiden jakauma keskiarvoistuu. Golayn koodin lohkon pituus on 24 ja esimerkeissä käytetyn Hammingin koodin 7, joten sovelluksiin nämä koodit ovat liian lyhyitä. Esimerkiksi digitelevisiostandardissa lohkon pituus on 16 200 tai 64 800.

Tässä tutkielmassa kanavakoodausta lähestytään yksinkertaisella mallilla (kuva 1). Mallissa on viestin lähettäjä, jolla on informaatio osana $u = (u_0, u_1, \dots, u_{k-1})$. Informaatio osaan lisätään redundanssia koodaamalla se koodisanaksi $x = (x_0, x_1, \dots, x_{n-1})$, joka lähetetään kanavaan. Kanavassa kohina aiheuttaa virheitä, jolloin kanavasta luetaan sana $y = x + e$, jossa e on virhevektori $(e_0, e_1, \dots, e_{n-1})$. Kanava voi olla systeemistä riippuen esimerkiksi avaruus tai ilmakehä tai sitten tallennusväline, kuten cd tai kovalevy. Kohinalla tarkoitetaan välityksessä tai tallennuksessa tapahtuvia häiriöitä, jotka aiheuttavat viestiin virheitä. Häiriöitä voivat olla esimerkiksi piikki sähkövirrassa tai viallisuus tallennusmediassa, kuten naarmu levyssä.

Kanavasta luettu sana y syötetään dekodausalgoritmille, joka palauttaa estimaatin informaatio osanasta hyödyntäen sanaan koodauksessa lisättyä redundanssia. Ideaalitulanteessa estimaatti on alkuperäinen sana u . Jos virheitä on kuitenkin syntynyt liikaa, sana saatetaan dekodataan väärin eli tapahtuu dekodausvirhe (*decoding error*), tai dekodaus epäonnistuu eli sanaa ei pystytä dekodamaan lainkaan (*decoding failure*).



Kuva 1: Kommunikaatiosysteemin yksinkertainen malli.

Yksi koodausteorian päätutkimuskohteista on kehittää koodeja, joilla on toisaalta suuri informaatio suhde ja toisaalta suuri minimietäisyys. Suuri informaatio suhde

kertoo hyvästä tehokkuudessa viestin välityksessä. Mitä suurempi minimietäisyys koodilla on, sitä enemmän se kykenee korjaamaan virheitä. Nämä tavoitteet ovat ristiriidassa keskenään [15].

Käytännön toteutuksen kannalta koodin hyvät matemaattiset ominaisuudet eivät ole riittävä vaatimus. Jotta koodia voidaan hyödyntää sovelluksissa, sillä on oltava riittävän yksinkertainen dekodausalgoritmi, joka on helposti implementoitavissa. Kommunikaatiosysteemi ei saa olla liian kallis tai kuluttaa liikaa energiaa. Siksi voimakkaimpien koodien käyttämisen suurimpana esteenä onkin niiden dekodausalgoritmien monimutkaisuus. Tämä tulee erityisesti esiin langattomissa järjestelmissä [1]. Käytettävän koodin valinnassa onkin tehtävä kompromisseja riippuen käyttökohteen vaatimuksista. Huomioon on otettava esimerkiksi tarvittava tarkkuus sekä käytössä oleva kanava ja laskentateho.

Tässä tutkielmassa perehdytään tulokodeihin. Tulokoodi on matriisimuotoinen koodi, jossa matriisin pysty- ja vaakarivit ovat kahden pienemmän koodin sanoja. Näin saadaan muodostettua lähtökoodoja huomattavasti pitempi ja voimakkaampi koodi. Tulokoodit voidaan dekodata dekadaamalla pysty- ja vaakarivikoodin dekooderilla ja vastaavasti vaakarivit vaakarivikoodin dekooderilla. Tätä voidaan jatkaa useamman iteraation ajan. Valitsemalla lähtökoodiksi koodit, joilla on yksinkertaiset dekodausalgoritmit, saadaan tulokoodista voimakas koodi, jonka dekodaus on kuitenkin suhteellisen yksinkertaista.

Tulokoodit esitteli ensimmäisenä Elias vuonna 1954 [5]. Tulokoodien teoriaa laajennettiin ja iteratiivista pehmeän päätöksen dekadausta (*soft-decision decoding*) tutkittiin 70- ja 80-luvuilla. Tulokodeista tuli kuitenkin suositumpia vasta 90-luvun lopulla, kun niiden dekadaukseen alettiin soveltaa iteratiivista turbokoodausta. Käyttökelpoinen pehmeän päätöksen SISO-dekodausalgoritmi (*soft-input soft-output decoding*) tulokodeille kehitettiin vuonna 1998 [18]. 2010-luvulla SISO-dekodattuja tulokodeja on käytetty muun muassa suurinopeuksisissa valokuitujärjestelmissä sekä useissa kommunikaatiostandardeissa (esimerkiksi IEEE 802.20 Mobile Broadband Wireless Access (MBWA)) [17, 16].

Tutkielman alussa käsitellään oleelliset peruskäsitteet, minkä jälkeen esitellään tulokoodin generaattorimatriisiin tarvittava Kroneckerin tulo sekä työssä käytettävät kanavamallit. Kolmannessa luvussa annetaan tulokoodin määritelmä, perehdytään tulokoodien rakenteeseen sekä parametreihin ja määritellään tulokoodin generaattorimatriisi.

Neljännessä ja viidennessä luvussa käsitellään dekadausta. Neljännessä luvussa tarkastellaan dekadausta yleisesti aloittaen ensin dekadauksesta BEC-kanavassa, jossa vastaanotetussa sanassa voi virheiden lisäksi esiintyä pyyhkiymiä. Seuraavaksi esitellään kaksi dekodausalgoritmia, erityisesti Reedin–Mullerin-koodille käytetty majoriteettilogiikka sekä Forneyyn yleistetyn etäisyyden algoritmi, joka on yleinen pehmeän päätöksen dekodausalgoritmi.

Viidennessä luvussa siirrytään itse tulokoodien dekodaukseen, ensin ryöppyvirheidⁿ ja pyyhkiymien kautta. Seuraavaksi esitellään kaksi tulokoodien dekodausalgoritmia, joissa hyödynnetään edellisen luvun dekodausalgoritmeja. Luvussa kuusi esitellään eräitä kiinnostavia jatkotutkimuskohteita. Lisäksi esitellään lyhyesti tulokoodien SISO-dekoodaus, joka on oleellinen tulokoodien käytännön sovelluksissa.

2 Taustatietoja

2.1 Koodausteorian peruskäsitteitä

Määritelmä 2.1.1. Olkoon Q äärellinen q :n alkion joukko, $q \geq 2$. Joukon $Q^n = Q \times Q \times \dots \times Q$ epätyhjää osajoukkoa C kutsutaan n :n pituiseksi q -ariseksi *koodiksi*. Koodin C alkioita sanotaan *koodisanoiksi*. Tässä työssä käsitellään pääasiassa binäärisiä koodeja, jolloin $Q = \mathbb{Z}_2 = \{0, 1\}$.

Koodisanojen $c = (c_1, c_2, \dots, c_n)$ ja $c' = (c'_1, c'_2, \dots, c'_n)$ *Hammingin etäisyys* $d(c, c')$ on niiden koordinaattien lukumäärä, joissa sanat eroavat toisistaan, eli

$$d(c, c') = |\{i : c_i \neq c'_i\}|.$$

Sanan c *Hammingin paino* $w(c)$ on sanan nolasta eroavien koordinaattien lukumäärä, eli olettaen että $0 \in Q$,

$$w(c) = d(c, 0),$$

jossa 0 on nollasana $(0, 0, \dots, 0)$. Hammingin etäisyyttä ja Hammingin painoa kutsutaan myös vain etäisyydeksi ja painoksi.

Koodin C *minimietäisyys* d on pienin kahden koodin C sanan välinen Hammingin etäisyys, eli

$$d = \min\{d(c, c') \mid c, c' \in C, c \neq c'\}.$$

Koodin virheenkorjauskyky on käytön kannalta oleellisia ominaisuuksia. Virheenkorjauskyky liittyy suoraan koodin minimietäisyyteen. Koodi C , jonka minimietäisyys on d , pystyy korjaamaan e satunnaisvirhettä, jos

$$d \geq 2e + 1.$$

Koodin virheenkorjauskyky antaa teoreettisen rajan korjattavien virheiden määrälle. Jos kanavassa syntyy satunnaisvirheitä $(d-1)/2$ tai vähemmän, on virheet niiden kuvioista riippumatta aina mahdollista korjata. Käytännössä myös koodin muut ominaisuudet, käytetty dekooderi ja syntyneiden virheiden kuvio vaikuttavat siihen, saadaanko syntyneet virheet korjattua. Hyvän dekodausalgoritmin on korjattava kaikki virheet rajaan $(d-1)/2$ asti, mutta on mahdollista korjata myös enemmän virheitä, jos virhevektorin kuvio on sopivanlainen.

Määritelmä 2.1.2. Koodi $C \subseteq \mathbb{F}_q^n$ on *lineaarinen*, jos kaikki koodisanojen summat ovat myös koodisanoja, eli kaikille $c = (c_1, c_2, \dots, c_n) \in C$, $c' = (c'_1, c'_2, \dots, c'_n) \in C$ myös $c + c' = (c_1 + c'_1, c_2 + c'_2, \dots, c_n + c'_n) \in C$.

Nollasana kuuluu aina lineaariseen koodiin ja pelkän nollasan sisältävää koodia kutsutaan triviaaliksi lineaariseksi koodiksi. Lineaarisen koodin minimietäisyys on pienin nolasta eroavan koodisanan paino, eli jos koodi C on lineaarinen, koodin minimietäisyys $d = \min\{w(c) \mid c \in C, c \neq 0\}$. Lineaarista koodia sanotaan (n, k, d) -koodiksi, missä n on sanan pituus, k koodin dimensio ja d koodin minimietäisyys.

Lineaarinen koodi $C \subseteq \mathbb{F}_q^n$ on vektoriavaruuden \mathbb{F}_q^n lineaarinen aliavaruus. Koodille C saadaan siis k :n koodisanan kanta, missä k on aliavaruuden C aste. Matriisia, jossa on vaakariveinä kannan vektorit, sanotaan koodin C *generaattorimatriisiksi*.

Koodin C sana saadaan muodostettua kertomalla k :n pituinen informaatiotiesana koodin C generaattorimatriisilla G . Saadussa sanassa on n bittiä, joista k ovat valitut informaatiobitit ja loput $n - k$ tarkistusbittejä. Suhdetta informaatiobittien ja lähetettyjen bittien välillä kutsutaan koodin *informaatiosuhteeksi* $R = k/n$.

Määritelmä 2.1.3. Olkoon C lineaarinen koodi. Koodia, jonka sanat ovat ortogonaaliset koodin C kanssa, kutsutaan koodin C *duaalikoodiksi*, joka merkitään C^\perp . Siis

$$C^\perp = \{x \in \mathbb{F}_q^n \mid x \cdot c = 0\},$$

missä $x \cdot c$ on sisätulo. Duaalikoodin generaattorimatriisia H sanotaan koodin C *pariteetintarkistusmatriisiksi*.

Lineaarisen koodin generaattorimatriisi G voidaan ilmaista muodossa $G = (I_k \mid P)$, jossa I_k on $k \times k$ -identiteettimatriisi. Tätä kutsutaan generaattorimatriisiin *standardimuodoksi*. Jos koodin C generaattorimatriisi G on muotoa $(I_k \mid P)$, saadaan pariteetintarkistusmatriisi kaavalla $H = (-P \mid I_{n-k})$.

Esimerkki 2.1.4. Tässä työssä käytetään useassa esimerkissä Hammingin (7,4)-koodia, jolla on generaattorimatriisi $G_{7,4}$ ja pariteetintarkistusmatriisi $H_{7,4}$, sekä laajennettua Hammingin (8,4)-koodia, jolla on generaattorimatriisi $G_{8,4}$ ja pariteetintarkistusmatriisi $H_{8,4}$

$$G_{7,4} = \left(\begin{array}{cccc|ccc} 1 & 0 & 0 & 0 & 1 & 1 & 0 \\ 0 & 1 & 0 & 0 & 1 & 0 & 1 \\ 0 & 0 & 1 & 0 & 0 & 1 & 1 \\ 0 & 0 & 0 & 1 & 1 & 1 & 1 \end{array} \right) \quad H_{7,4} = \left(\begin{array}{cccc|ccc} 1 & 1 & 0 & 1 & 1 & 0 & 0 \\ 1 & 0 & 1 & 1 & 0 & 1 & 0 \\ 0 & 1 & 1 & 1 & 0 & 0 & 1 \end{array} \right)$$

$$G_{8,4} = \left(\begin{array}{cccc|cccc} 1 & 0 & 0 & 0 & 1 & 1 & 0 & 1 \\ 0 & 1 & 0 & 0 & 1 & 0 & 1 & 1 \\ 0 & 0 & 1 & 0 & 0 & 1 & 1 & 1 \\ 0 & 0 & 0 & 1 & 1 & 1 & 1 & 0 \end{array} \right) \quad H_{8,4} = \left(\begin{array}{cccc|cccc} 1 & 1 & 0 & 1 & 1 & 0 & 0 & 0 \\ 1 & 0 & 1 & 1 & 0 & 1 & 0 & 0 \\ 0 & 1 & 1 & 1 & 0 & 0 & 1 & 0 \\ 1 & 1 & 1 & 0 & 0 & 0 & 0 & 1 \end{array} \right)$$

Määritelmä 2.1.5. Lineaarinen koodi C on *syklinen*, jos myös kaikki koodisanojen sykliset siirrot kuuluvat koodiin eli jokaiselle koodisanalle $c = (c_0, c_1, \dots, c_{n-1}) \in C$ on voimassa $(c_{n-1}, c_0, c_1, \dots, c_{n-2}) \in C$.

2.2 Kroneckerin tulo

Kroneckerin tulo on eräänlainen matriisitulo. Kroneckerin tuloa hyödynnetään luvussa 3.3 määrittäessä tulokoodille generaattorimatriisi.

Määritelmä 2.2.1. Olkoon $A = (a_{ij})$ $m_1 \times n_1$ -matriisi ja $B = (b_{ij})$ $m_2 \times n_2$ -matriisi. Näiden Kroneckerin tulo $A \otimes B$ on matriisi, jolle [22]

$$A \otimes B = \begin{pmatrix} a_{00}B & a_{01}B & \dots & a_{0(n_1-1)}B \\ a_{10}B & a_{11}B & \dots & a_{1(n_1-1)}B \\ \vdots & \vdots & \ddots & \vdots \\ a_{(m_1-1)0}B & a_{(m_1-1)1}B & \dots & a_{(m_1-1)(n_1-1)}B \end{pmatrix}.$$

Esimerkki 2.2.2. Lasketaan Kroneckerin tulo matriiseille A ja B , kun

$$A = \begin{pmatrix} 2 & 4 & 3 \\ 3 & 1 & 0 \end{pmatrix} \text{ ja } B = \begin{pmatrix} 1 & 5 \\ 0 & 4 \end{pmatrix}.$$

$$\text{Nyt } A \otimes B = \begin{pmatrix} 2 & 10 & 4 & 20 & 3 & 15 \\ 0 & 8 & 0 & 16 & 0 & 12 \\ 3 & 15 & 1 & 5 & 0 & 0 \\ 0 & 12 & 0 & 4 & 0 & 0 \end{pmatrix}.$$

2.3 Yksinkertaisista kanavamalleista

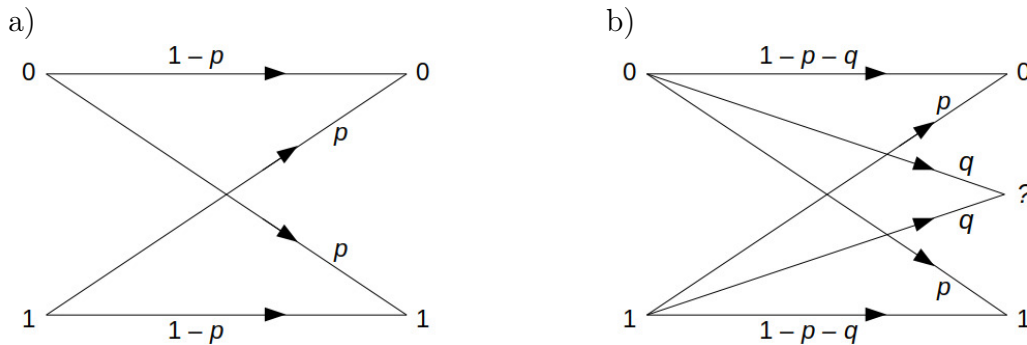
Koodin ja dekodausalgoritmin valintaan vaikuttaa, millaisen kanavan läpi viesti lähetetään. Tässä työssä käytetään yksinkertaista kanavamallia, *diskreettiä muistitonta kanavaa* (DMC = *discrete memoryless channel*). DMC-kanavassa on M -arinen syöttöaakkosto ja Q -arinen tulostaakkosto. Muistittomuus tarkoittaa, että tietyllä hetkellä vastaanotettu signaali riippuu ainoastaan kyseisestä lähetetystä signaalista, eikä aiemmin lähetetyillä ole siihen vaikutusta [12].

Diskreetti muistiton kanava voidaan kuvata siirtotodennäköisyyksillä

$$P(j|i), \quad 0 \leq i \leq M - 1, \quad 0 \leq j \leq Q - 1,$$

missä $P(j|i)$ tarkoittaa todennäköisyyttä vastaanottaa symboli j , kun kanavaan on lähetetty symboli i .

DMC-kanavassa jokaisella bitillä on sama todennäköisyys olla virheellinen, eli muistittomat kanavat ovat satunnaisvirhekanavia. Esimerkkejä kommunikaatiojärjestelmistä, joissa kanavan kohina on satunnaista, ovat useimmat satelliittikanavat ja kommunikointi avaruusluotainten kanssa (*deep-space channel*) [12].



Kuva 2: a) Binäärinen symmetrinen kanava (BSC) ja b) pyyhkiymäkanava (BEC).

Yksinkertaisin DMC-kanava on *binäärinen symmetrinen kanava* (BSC = *binary symmetric channel*), jossa $M = Q = 2$ ja virhetodennäköisyys kumpaankin suuntaan on sama (kuva 2a). Virheen todennäköisyys on p , jolloin BSC-kanavan siirtotodennäköisyydet ovat $P(1|1) = P(0|0) = 1 - p$ ja $P(1|0) = P(0|1) = p$. BSC-kanavassa $Q = 2$ eli tulostus on binäärinen ja siis dekooderille annetaan binäärinen syöte. Tätä kutsutaan kovapäätösdekodaukseksi [12].

Viesti kulkee kanavassa aaltomuodossa, eikä vastaanotettu signaali välttämättä ole selvästi 0 tai 1. Kovapäätösdekoodauksessa demodulaattorin on kuitenkin jokaisen vastaanotetun signaalin kohdalla tehtävä valinta ja tulkittava signaali siksi symboliksi, jota se enemmän muistuttaa. Epäselvän signaalin kohdalla voi tässä tulla tulkintavirhe. Tämän voi välttää käyttämällä pyyhkiymiä.

Pyyhkiymäkanava eli BEC-kanava (*binary erasure channel*) on DMC-kanava, jossa $M = 2$ ja $Q = 3$ (kuva 2b). Tulosteakkosto on $\{0, 1, ?\}$, jossa symboli ? tarkoittaa pyyhkiymää. Koordinaatti merkitään pyyhkiymäksi, kun signaali on epäselvä [12]. Pyyhkiymän suurin hyöty tulee siitä, että merkitsemällä bitti pyyhkiymäksi pysyy epäselvyyden paikka tiedossa, kun taas kovapäätösdekoodauksessa virheenkorjausalgoritmi pitää kaikkia sanan bittejä yhtä luotettavina, mikä voi liian usean virheen sattuessa johtaa dekodausvirheeseen.

Varsinaisesta pehmeän päätöksen dekodauksesta (*soft-decision decoding*) puhutaan, kun $Q > 3$. Tällöin dekooderin implemointi on kovapäätösdekoodaukseen verrattuna monimutkaisempaa, mutta dekodausvirheet ja dekodauksen epäonnistumiset saadaan vähenemään [12].

Todellisuudessa pehmeä ja kovapäätösdekoodaus eivät eroa toisistaan kanavan osalta, vaan valinta kovapäätösdekoodauksen ja pehmeän päätöksen dekodauksen välillä tehdään vastaanottajapäässä. Viestisignaali luetaan kanavasta ja kvantisoidaan äärellisen moneen vaihtoehtoon sen mukaan, kuinka paljon tallennustilaa järjestelmässä on yhtä bittiä kohden varattu. Jos vaihtoehtoja on kaksi ($0 | 1$) päädytään kovapäätösdekoodaukseen. Kolmella vaihtoehdolla ($0 | ? | 1$) on kyseessä BEC, ja sitä useammalla pehmeän päätöksen dekodaus (esimerkiksi kuudella vaihtoehdolla bitti kvantisoidaan joukkoon $\{0 | 0.2 | 0.4 | 0.6 | 0.8 | 1.0\}$).

Mitä pehmeämpää dekodaukselta tehdään, sitä työläämpää sen toteutus on. Pehmeässä dekodauksessa saadaan kuitenkin biteille luotettavuusdataa, jonka ansiosta päästään parempiin virheenkorjaustuloksiin. Esimerkiksi bitti, joka on kanavasta luettaessa kvantisoitu arvoon 0.8, on ollut ykkönen todennäköisemmin, kuin bitti, joka on luettu arvoksi 0.6.

Tarkastellaan yksinkertaisena esimerkkinä kolmen bitin pariteetintarkastuskoodia. Lähetetään kanavaan sana 110. Kanavan kohinan seurauksena kanavasta luetaan sana (0.8, 0.8, 0.6). Näistä kolmas bitti on epäluotettavin, joten päätellään se virheelliseksi, ja dekodataan tämä koodisanaksi 110. Vastaavalla kohinalla olisi kovapäätösdekoodauksessa kaikki bitit kvantisoitu ykkösiksi, kanavasta luettu 111 ja luotettavuustieto menetetty.

Seuraavasta lauseesta saadaan minimietäisyyden suhde korjattaviin virheisiin ja pyyhkiymiin eli koodin virheenkorjauskyky BEC-kanavassa.

Lause 2.3.1. *Koodi C , joka on (n, k, d) -koodi, saa korjattua e virhettä ja ε pyyhkiymää, jos virheille ja pyyhkiymille on voimassa*

$$d \geq 2e + \varepsilon + 1.$$

Todistus. Oletetaan, että kanavaan on lähetetty koodin C sana x ja kanavasta on vastaanotettu sana y , jossa on lauseen mukaiset ε pyyhkiymää ja e virhettä. Pois-

tetaan kaikista koodin C sanoista ne ε bittiä, joissa sanassa y on pyyhkiymä. Saadaan lyhennetty koodi C' , jonka pituus on $n - \varepsilon$. Tämän koodin minimietäisyys on vähintään $d - \varepsilon$, ja

$$d - \varepsilon \geq 2e + 1.$$

Koodi C' pystyy siis korjaamaan lyhennetyssä sanassa y' olevat e virhettä. Saadaan sana r , jossa on ε pyyhkiymää, mutta muut bitit vastaavat lähetettyä sanaa x . Koska $d \geq \varepsilon + 1$, sana x on ainoa koodin C koodisana, jossa on sanaa r vastaavat bitit. [12]. \square

Lauseesta 2.3.1 huomataan, että pyyhkiymiä saadaan korjattua kaksinkertainen määrä virheisiin nähden. Tämä parannus johtuu siitä, että pyyhkiymien kohdalla dekooderilla on dekodauksen pohjana enemmän tietoa. Virheiden kohdalla ainoa tieto on, että vastaanotettu sana ei ole koodisana. Virheitä arvoidaan tapahtuneen pienin mahdollinen määrä, jolla vastaanotettuun sanaan olisi voinut koodisanasta päätyä. Pyyhkiymien kohdalla dekooderilla sen sijaan on tiedossa sekä pyyhkiymien lukumäärä että sijainti.

3 Tulokoodien rakenne ja perusominaisuudet

3.1 Johdattelevia esimerkkejä tulokoodista

Esimerkki 3.1.1. Lähestytään tulokodeja esimerkin kautta. Olkoon C_1 binäärinen kolmen bitin pariteetintarkastuskoodi ja C_2 binäärinen neljän bitin pariteetintarkastuskoodi. Tarkastellaan koodia C , jossa sanoina on 3×4 -matriisit, joissa vaakarivit ovat koodin C_2 sanoja ja pystyrit koodin C_1 sanoja.

Tarkastellaan sanaa

$$c = \left(\begin{array}{ccc|c} c_{00} & c_{01} & c_{02} & c_{03} \\ c_{10} & c_{11} & c_{12} & c_{13} \\ c_{20} & c_{21} & c_{22} & c_{23} \end{array} \right).$$

Nyt bitit $c_{00}, \dots, c_{02}, c_{10}, \dots, c_{12}$ ovat informaatiobittejä ja ne voidaan valita vapaasti. Vaakarivit ovat koodin C_2 sanoja, joten bitit c_{03} ja c_{13} määräytyvät yksikäsitteisesti. Samoin bitit c_{20}, c_{21} ja c_{22} määräytyvät yksikäsitteisesti, koska pystyrit ovat koodin C_2 sanoja.

Ainoa mahdollinen ongelma on, määräytyykö nurkkabitti c_{23} yksikäsitteisesti niin, että alin vaakarivi on koodin C_1 sana ja että oikeanpuoleisin pystyri on koodin C_2 sana. Valitaan nurkkabitti c_{23} koodin C_1 mukaan eli niin, että $(c_{03}, c_{13}, c_{23}) \in C_1$. Nyt alin rivi $(c_{20}, c_{21}, c_{22}, c_{23})$ on saatu laskemalla yhteen ylemmät rivit $(c_{00}, c_{01}, c_{02}, c_{03})$ ja $(c_{10}, c_{11}, c_{12}, c_{13})$. Koska C_2 on lineaarinen, $(c_{20}, c_{21}, c_{22}, c_{23}) \in C_2$.

Muodostetaan koodisana informaatiobiteillä $((1, 0, 1), (0, 0, 1))$. Pariteetintarkistusbitit määräytyvät seuraavasti

$$\left(\begin{array}{ccc|c} 1 & 0 & 1 & 0 \\ 0 & 0 & 1 & 1 \\ 1 & 0 & 0 & 1 \end{array} \right).$$

Tarkastellaan koodin C pienipainoisinta nollasta eroavaa koodisanaa. Koodin C_2 minimipaino on kaksi, joten jos yksi jonkin vaakarivin biteistä on ykkönen, on vaakarivillä oltava toinenkin ykkönen. Samoin koodin C_1 minimipaino on kaksi, joten ykkösiä vastaavilla pystyriveillä on kummallakin oltava myös toiset ykköset. Nollasta eroavassa sanassa on siis vähintään neljä ykköstä eli tulokoodin minimipaino on neljä. Esimerkiksi sana, jossa on ykkönen informaatiobitissä c_{02} , on

$$\left(\begin{array}{ccc|c} 0 & 0 & 1 & 1 \\ 0 & 0 & 0 & 0 \\ 0 & 0 & 1 & 1 \end{array} \right).$$

Koodin minimipaino on neljä ja informaatiobittejä on kuusi, joten saatu koodi on $(12, 6, 4)$ -koodi. Koodi on yhden virheen korjaava.

Esimerkki 3.1.2. Olkoon C_1 binäärinen neljän bitin pariteetintarkastuskoodi C_2 seitsemän bitin Hammingin koodi. Nyt C_1 on $(4,3,2)$ -koodi ja C_2 on $(7,4,3)$ -koodi. Muodostetaan koodi C , jossa pystyrit ovat koodin C_1 sanoja ja vaakarivit koodin C_2 sanoja. Koodin C koodisanat ovat nyt muotoa

$$c = \left(\begin{array}{cccc|ccc} c_{00} & c_{01} & c_{02} & c_{03} & c_{04} & c_{05} & c_{06} \\ c_{10} & c_{11} & c_{12} & c_{13} & c_{14} & c_{15} & c_{16} \\ c_{20} & c_{21} & c_{22} & c_{23} & c_{24} & c_{25} & c_{26} \\ \hline c_{30} & c_{31} & c_{32} & c_{33} & c_{34} & c_{35} & c_{36} \end{array} \right).$$

Vasemman ylänurkan 12 bittiä ovat informaatiobittejä ja voidaan valita vapaasti. Oikean ylänurkan yhdeksän bittiä määräytyvät Hammingin koodin tarkistusbitteinä kunkin vaakarivin mukaisesti. Vasemman alanurkan neljä bittiä taas muodostuvat pariteetintarkastuskoodin tarkistusbitteinä. Nyt kysymyksenä on sama kuin ensimmäisessä esimerkissä: määräytyvätkö kolme oikean alanurkan bittiä (c_{34} , c_{35} ja c_{36}) niin, että alin vaakarivi on Hammingin koodin sana ja pystyrit pariteetintarkistuskoodin sanoja?

Täydennetään alin rivi loppuun noudattamalla pystyrievien pariteetintarkastuskoodia. Nyt koko alin rivi on saatu laskemalla yhteen ensimmäinen, toinen ja kolmas rivi, eli kolme Hammingin koodin sanaa, joten se on myös Hammingin koodin koodisana. Nurkkabitit noudattavat siis sekä pysty- että vaakarivien kaavaa.

Tarkastellaan pienipainoisinta nollasta eroavaa koodin C sanaa. Valitaan kaksi kolmesta ensimmäisestä vaakarivistä nollasanoiksi. Kolmannen vaakarivin täytyy nyt erota nollasta. Hammingin koodin pienin nollasta eroavan sanan paino on kolme, joten kolmannella vaakarivillä on oltava kolme ykköstä. Pystyrievien pariteetintarkastuskoodi tuo alimmalle vaakariville toiset kolme ykköstä. Tarkastelemamme koodin minimietäisyys on siis kuusi. Koodi C on siis $(28, 12, 6)$ -koodi ja pystyy korjaamaan 2 virhettä.

Pohditaan seuraavaksi, miten koodi löytää ja korjaa syntyvät virheet. Noudatetaan seuraavaa algoritmia:

1. Dekoodataan vaakarivit Hammingin $(7, 4)$ -koodin dekodausalgoritmilla. Välitetään pariteetintarkastuskoodille tieto virheellisistä riveistä sekä alustavasti dekodattu matriisi.
2. Pariteetintarkistuskoodi tarkistaa pystyrit ja tarvittaessa korjaa ykköskohdassa epäilyksenalaisiksi merkittyjen rivien bittejä.

Oletetaan, että kanavassa on syntynyt kaksi virhettä. Virheet voivat olla joko eri riveillä tai samalla rivillä. Jos virheet ovat matriisin eri riveillä, eli Hammingin koodin eri sanoissa, Hammingin koodin algoritmi korjaa ne kohdassa 1 ja pariteetintarkistuskoodi kelpuuttaa pystyrit sellaisenaan kohdassa 2.

Käydään esimerkin kanssa läpi tilanne, jossa virheet ovat samalla rivillä. Oletetaan, että kanavaan on lähetetty nollasana ja kanavan kohina on aiheuttanut kaksi virhettä. Kanavasta luetaan sana

$$\left(\begin{array}{cccc|ccc} 0 & 0 & 0 & 0 & 0 & 0 & 0 \\ 0 & 0 & 0 & 0 & 0 & 0 & 0 \\ 0 & 0 & 1 & 0 & 1 & 0 & 0 \\ \hline 0 & 0 & 0 & 0 & 0 & 0 & 0 \end{array} \right).$$

1. Hammingin koodi toteaa ensimmäisen, toisen ja neljännen vaakarivin virheettömiksi, mutta kolmannen vaakarivin virheelliseksi. Hammingin $(7, 4)$ -koodi ei kykene erottamaan, onko tapahtunut yksi vai kaksi virhettä, vaan korjaa kaksivirheisen sanan väärin yhden bitin virheenä. Tässä sana dekodataan kääntämällä bitti c_{23} ykköseksi. Kolmas rivi merkitään epäluotettavaksi.

$$\left(\begin{array}{cccc|ccc} 0 & 0 & 0 & 0 & 0 & 0 & 0 \\ 0 & 0 & 0 & 0 & 0 & 0 & 0 \\ 0 & 0 & 1 & 1 & 1 & 0 & 0 \\ \hline 0 & 0 & 0 & 0 & 0 & 0 & 0 \end{array} \right) \begin{array}{l} ok \\ ok \\ ? \\ ok \end{array}$$

2. Pariteetintarkastuskoodi käy läpi pystyrit ja toteaa ensimmäisen, toisen, kuudennen ja seitsemännen pystyryivin virheettömiksi sekä pystyrit 3–5 virheellisiksi.

Pariteetintarkastuskoodin minimietäisyys on kaksi eli se ei itsellään korjaa yhtäkään virhettä. Tässä dekodattava sana 0010 on yhtä lähellä koodisanoja 0000 ja 0011. Vaakarividekooderin antamien luotettavuustietojen perusteella osataan kuitenkin korjata bitit c_{22} , c_{23} ja c_{24} ja saadaan

$$\left(\begin{array}{cccc|ccc} 0 & 0 & 0 & 0 & 0 & 0 & 0 \\ 0 & 0 & 0 & 0 & 0 & 0 & 0 \\ 0 & 0 & 0 & 0 & 0 & 0 & 0 \\ \hline 0 & 0 & 0 & 0 & 0 & 0 & 0 \end{array} \right).$$

Kaikki vaakarivit ovat nyt Hammingin koodin sanoja ja kanavasta vastaanotettu koodisana on saatu korjattua.

3.2 Tulokoodin parametrit

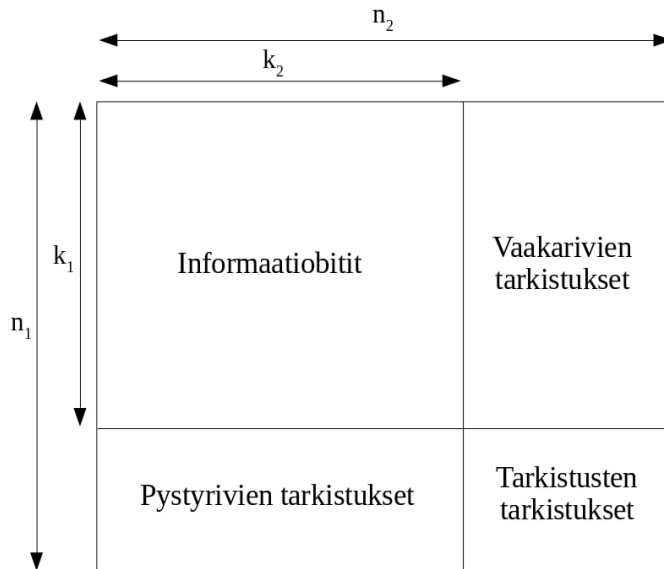
Kahdesta lineaarisesta virheitä korjaavasta koodista voidaan muodostaa isompi koodi koodaamalla informaatiobitit kahdesti. Tehdään tämä luvun 3.1 esimerkkien tapaan järjestämällä bitit matriisimuotoon ja koodaamalla ne ensin yhteen suuntaan ensimmäisellä lähtökoodilla ja sitten toiseen suuntaan toisella. Näin saadaan alkuperäisiä koodeja vahvempi virheenkorjauskyky.

Käytetään lähtökoodeina koodia C_1 , joka on (n_1, k_1, d_1) -koodi ja koodia C_2 , joka on (n_2, k_2, d_2) -koodi. Muodostetaan luvun 3.1 esimerkkien tavoin suurempi koodi C , jonka koodisana on $n_1 \times n_2$ -matriisi. Koodisanassa on $k_1 k_2$ informaatiobittia, $k_1(n_2 - k_2)$ koodin C_2 tarkistusbittia, $k_2(n_1 - k_1)$ koodin C_1 tarkistusbittia ja $(n_1 - k_1)(n_2 - k_2)$ tarkistusten tarkistusbittia. Koodia C kutsutaan tulokoodiksi.

Tulokoodin koodisanan rakenne on esitetty kuvassa 3. Tässä tutkielmassa käsitellään tulokooodeja selvyiden vuoksi muodossa, jossa tarkastusbitit ovat aina lähkokoodeissa sanan lopussa ja siten tulokoodissa oikealla ja alareunassa.

Luvun 3.1 esimerkeissä havaittiin, että oikean alanurkan bitit eli tarkistusten tarkistukset noudattivat sekä vaaka- että pystyryvikoodin kaavaa. Lineaarialgebrasta saadaan, että tämä pätee yleisestikin. Valitaan informaatiobitit ja täydennetään vaakarivien tarkistukset koodin C_2 mukaan. Ensimmäiset k_1 vaakariviä ovat nyt

koodin C_2 sanoja. Täydennetään sitten jäljellä olevat alemmat $n_1 - k_1$ vaakariviä, eli sekä pystyrievien tarkistukset että tarkistusten tarkistukset, koodin C_1 mukaan. Kaikki pystyrievit ovat siis koodin C_1 sanoja. Lineaarisen koodin tarkistusbitit saadaan koodisanan informaatiobittien lineaarikombinaationa, joten $n_1 - k_1$ alinta vaakariviä on saatu k_1 ylemmän vaakarivin lineaarikombinaationa. Koska ylemmät k_1 vaakariviä ovat koodin C_2 sanoja, ovat myös alimmat vaakarivit koodin C_2 sanoja.



Kuva 3: Tulokoodin koodisanan rakenne.

Määritellään seuraavaksi tulokoodi muodollisesti.

Määritelmä 3.2.1. Olkoon C_1 lineaarinen (n_1, k_1, d_1) -koodi ja C_2 lineaarinen (n_2, k_2, d_2) -koodi yli kunnan \mathbb{F}_2 . Olkoon C $n_1 n_2$ -pituinen koodi, jonka koodisanat ovat $n_1 \times n_2$ -matriiseja. C on koodien C_1 ja C_2 *tulokoodi*, joss C :n koodisanat ovat kaikki ne koodisanat, joiden matriisiesityksen kaikki pystyrievit ovat koodin C_1 sanoja ja kaikki vaakarivit ovat koodin C_2 sanoja [13]. Käytetään tulokoodista merkintää

$$C = C_1 \otimes C_2.$$

Kahden tulokoodin koodisanan summassa vaakarivit ovat jokainen kahden koodin C_2 sanan summaa, eli koodin C_2 sanoja, ja vastaavasti pystyrievit koodin C_1 sanojen summina koodin C_1 sanoja. Tulokoodin sanojen summa on siis sekin tulokoodin sana eli lineaaristen koodien tulokoodi on lineaarinen.

Lause 3.2.2. *Olkoon C_1 (n_1, k_1, d_1) -koodi ja C_2 (n_2, k_2, d_2) -koodi. Tulokoodi $C_1 \otimes C_2$ on $(n_1 n_2, k_1 k_2, d_1 d_2)$ -koodi.*

Todistus. Tulokoodin määritelmästä seuraa, että koodisanan pituus on $n_1 n_2$ ja koodin dimensio $k_1 k_2$. Olkoon c koodin $C_1 \otimes C_2$ nollasta eroava sana. Ainakin yhdellä matriisillä c pystyrievillä on nollasta eroava alkio. Koska pystyrievi on koodin C_1 sana, sen paino on vähintään d_1 , eli sillä on vähintään d_1 nollasta eroavaa alkioita. Nyt vähintään d_1 vaakarivillä on nollasta eroava alkio. Kukin niistä on koodin C_2 sana, joten niillä on vähintään paino d_2 . sanan c paino on siis vähintään $d_1 d_2$ [13]. \square

3.3 Tulokoodin generaattorimatriisi

Tutkitaan seuraavaksi tulokoodin generaattorimatriisia. Generaattorimatriisin muodostamisessa käytetään luvussa 2.2 määriteltyä Kroneckerin tuloa ja lähtökoodien generaattorimatriiseja. Tarkastellaan tätä esimerkin kautta.

Esimerkki 3.3.1. Palataan esimerkin 3.1.2 koodeihin. Vaakarivikoodi C_1 on $(4, 3, 2)$ -pariteetintarkistuskoodi ja pystyrivikoodi C_2 on Hammingin $(7, 4)$ -koodi. Näiden tulokoodin $C = C_1 \otimes C_2$ parametrit ovat $(n_1 n_2, k_1 k_2, d_1 d_2) = (28, 12, 6)$. Koodeilla C_1 ja C_2 on generaattorimatriisit G_1 ja G_2 , joille

$$G_1 = \left(\begin{array}{ccc|c} 1 & 0 & 0 & 1 \\ 0 & 1 & 0 & 1 \\ 0 & 0 & 1 & 1 \end{array} \right) \text{ ja } G_2 = \left(\begin{array}{cccc|ccc} 1 & 0 & 0 & 0 & 1 & 1 & 0 \\ 0 & 1 & 0 & 0 & 1 & 0 & 1 \\ 0 & 0 & 1 & 0 & 0 & 1 & 1 \\ 0 & 0 & 0 & 1 & 1 & 1 & 1 \end{array} \right).$$

Näiden kroneckerin tulo on 12×28 -matriisi

$$G_1 \otimes G_2 = \begin{pmatrix} G_2 & 0 & 0 & G_2 \\ 0 & G_2 & 0 & G_2 \\ 0 & 0 & G_2 & G_2 \end{pmatrix}.$$

Esitetään matriisin $G_1 \otimes G_2$ ensimmäinen rivi 4×7 -matriisimuodossa, jolloin saadaan koodin $C_1 \otimes C_2$ sana

$$\left(\begin{array}{cccc|ccc} 1 & 0 & 0 & 0 & 1 & 1 & 0 \\ 0 & 0 & 0 & 0 & 0 & 0 & 0 \\ 0 & 0 & 0 & 0 & 0 & 0 & 0 \\ \hline 1 & 0 & 0 & 0 & 1 & 1 & 0 \end{array} \right).$$

Vastaavasti esimerkiksi toisella rivillä on koodin $C_1 \otimes C_2$ sana, jossa koordinaatissa $(0, 1)$ on ykkönen ja muut informaatiobitit ovat nollia, eli tulokoodin sana

$$\left(\begin{array}{cccc|ccc} 0 & 1 & 0 & 0 & 1 & 0 & 1 \\ 0 & 0 & 0 & 0 & 0 & 0 & 0 \\ 0 & 0 & 0 & 0 & 0 & 0 & 0 \\ \hline 0 & 1 & 0 & 0 & 1 & 0 & 1 \end{array} \right).$$

Rivillä 5 taas on sana, jossa koordinaatissa $(1, 0)$ on ykkönen ja muut informaatiobitit ovat nollia, eli tulokoodin sana

$$\left(\begin{array}{cccc|ccc} 0 & 0 & 0 & 0 & 0 & 0 & 0 \\ 1 & 0 & 0 & 0 & 1 & 1 & 0 \\ 0 & 0 & 0 & 0 & 0 & 0 & 0 \\ \hline 1 & 0 & 0 & 0 & 1 & 1 & 0 \end{array} \right).$$

Matriisin $G_1 \otimes G_2$ riveillä ovat kaikki 12 koodin $C_1 \otimes C_2$ sanaa, joissa informaatiobiteissä on tasan yksi ykkönen, eli kaikki tulokoodin sanat, joiden paino on kuusi. Matriisin $G_1 \otimes G_2$ vaakarivien lineaarikombinaatioina saadaan siis kaikki koodin $C_1 \otimes C_2$ sanat, joten se on koodin generaattorimatriisi.

Vastaavasti yleisessä tapauksessa lähtökoodien generaattorimatriisien Kroneckerin tulona saadaan tulokoodin generaattorimatriisi. Esimerkissä lähtökoodille käytettiin redusoidussa diagonaalimuodossa olevia generaattorimatriiseja, mutta Kroneckerin tulon ominaisuuksista johtuen lähtökoodien generaattorimatriisien valinnalla ei ole väliä [22].

Tulokoodin $C = C_1 \otimes C_2$ koodisanan voi generoida joko kertomalla $k_1 k_2$ -pituisen informaatiovektorin koodin C generaattorimatriisilla tai käyttämällä lähtökoodien generaattorimatriiseja seuraavan lauseen mukaisesti.

Lause 3.3.2. *Olkoon informaationa u $k_1 \times k_2$ -matriisi ja G_1 ja G_2 koodien C_1 ja C_2 generaattorimatriisit. Tulokoodin C sana x saadaan kaavalla*

$$x = G_1^\top u G_2.$$

Todistus. Kertomalla informaatiomatriisi u vasemmalta koodin C_1 generaattorimatriisin transpoosilla saadaan $n_1 \times k_2$ -matriisi, jossa pystyiveinä on koodin C_1 sanoja. Kun tämä kerrotaan oikealta koodin C_2 generaattorimatriisilla, saadaan $n_1 \times n_2$ -matriisi, jossa äskeisen matriisin vaakarivit on täydennetty koodin C_2 sanoiksi [1]. \square

Lauseen 3.3.2 avulla voidaan operoida tulokoodin suuren $k_1 k_2 \times n_1 n_2$ -generaattorimatriisin sijaan lähtökoodien huomattavasti pienemmällä $k_1 \times n_1$ - ja $k_2 \times n_2$ -generaattorimatriiseilla. Annetaan tästä esimerkki.

Esimerkki 3.3.3. *Olkoon $C = C_1 \otimes C_2$ kuten esimerkissä 3.3.1. Olkoon informaationa u 3×4 -matriisi*

$$u = \begin{pmatrix} 1 & 0 & 0 & 0 \\ 0 & 0 & 0 & 0 \\ 0 & 0 & 0 & 0 \end{pmatrix}.$$

Lauseen 3.3.2 mukaisesti saadaan

$$\begin{aligned} x = G_1^\top u G_2 &= \begin{pmatrix} 1 & 0 & 0 \\ 0 & 1 & 0 \\ 0 & 0 & 1 \\ \hline 1 & 1 & 1 \end{pmatrix} \begin{pmatrix} 1 & 0 & 0 & 0 \\ 0 & 0 & 0 & 0 \\ 0 & 0 & 0 & 0 \end{pmatrix} \begin{pmatrix} 1 & 0 & 0 & 0 & | & 1 & 1 & 0 \\ 0 & 1 & 0 & 0 & | & 1 & 0 & 1 \\ 0 & 0 & 1 & 0 & | & 0 & 1 & 1 \\ 0 & 0 & 0 & 1 & | & 1 & 1 & 1 \end{pmatrix} \\ &= \begin{pmatrix} 1 & 0 & 0 & 0 \\ 0 & 0 & 0 & 0 \\ 0 & 0 & 0 & 0 \\ \hline 1 & 0 & 0 & 0 \end{pmatrix} \begin{pmatrix} 1 & 0 & 0 & 0 & | & 1 & 1 & 0 \\ 0 & 1 & 0 & 0 & | & 1 & 0 & 1 \\ 0 & 0 & 1 & 0 & | & 0 & 1 & 1 \\ 0 & 0 & 0 & 1 & | & 1 & 1 & 1 \end{pmatrix} \\ &= \begin{pmatrix} 1 & 0 & 0 & 0 & | & 1 & 1 & 0 \\ 0 & 0 & 0 & 0 & | & 0 & 0 & 0 \\ 0 & 0 & 0 & 0 & | & 0 & 0 & 0 \\ \hline 1 & 0 & 0 & 0 & | & 1 & 1 & 0 \end{pmatrix}. \end{aligned}$$

Sama tulokoodin sana saadaan käyttämällä informaationanasta vektorimuotoa $v = (1, 0, 0, \dots, 0)$ ja kertomalla tämä generaattorimatriisilla $G_1 \otimes G_2$, joka on 12×28 -matriisi. Tulokoodin sana saadaan 28-pituuisena vektorina

$$x' = v(G_1 \otimes G_2) = (1, 0, 0, \dots, 0) \begin{pmatrix} G_2 & 0 & 0 & G_2 \\ 0 & G_2 & 0 & G_2 \\ 0 & 0 & G_2 & G_2 \end{pmatrix}.$$

4 Dekoodauksesta yleisesti

4.1 Dekoodaus BEC-kanavassa

Esitellään seuraavaksi menetelmä, jolla saadaan korjattua binäärisen koodin virheet ja pyyhkiymät, kun käytetylle koodille on tiedossa kovapäätösdekooderi, joka korjaa virheet rajaan $e \leq (d-1)/2$ asti [20].

Algoritmissa tehdään vastaanotetulle sanalle kaksi komplementtista estimaattia, toisessa pyyhkiymät korvataan kaikki nolilla ja toisessa ykkösillä. Näistä muodostetuista sanoista toisessa on oltava korvatuista biteistä yli puolet oikein. Tämä on riittävä määrä, jotta dekodausalgoritmi korjaa virheet oikein, jos kanavassa on tapahtunut enintään e virhettä ja ε pyyhkiymää ja $2e + \varepsilon < d$. Estimaatit yritetään kumpikin dekodata ja jos kummankin dekodaus tuottaa tulosteena koodisanan, valitaan niistä se jonka dekoodaamisessa tarvittiin vähemmän korjauksia [20].

Algoritmi 4.1.1. *Olkoon C binäärinen (n, k, d) -koodi, jolle on tiedossa dekodausalgoritmi, joka korjaa kaikki virheet, kun niiden lukumäärä on $\leq (d+1)/2$. Kanavasta on vastaanotettu sana y , jossa osa koordinaateista on pyyhkiymiä.*

1. *Korvataan vastaanotetussa sanassa olevat pyyhkiymät nolilla, jolloin saadaan binäärinen sana r_0 . Dekodataan r_0 koodin C dekodausalgoritmilla ja saadaan koodin C sana c_0 .*
2. *Korvataan vastaanotetussa sanassa olevat pyyhkiymät ykkösillä, jolloin saadaan binäärinen sana r_1 . Dekodataan r_1 koodin C dekodausalgoritmilla ja saadaan koodin C sana c_1 .*
3. *Valitaan dekodauksien väliltä seuraavasti:*
 - (i) *Toinen sanoista r_0 ja r_1 palauttaa dekodauksessa koodin C koodisanan, mutta toisen kohdalla dekodaus epäonnistuu. Palautetaan onnistuneen dekodauksen tulos c_i .*
 - (ii) *Kummankin sanan r_0 ja r_1 dekodaus onnistuu ja ne palauttavat saman koodin C sanan $c_0 = c_1$. Palautetaan sana $c_0 = c_1$.*
 - (iii) *Kummankin sanan r_0 ja r_1 dekodaus onnistuu, mutta ne palauttavat koodin C eri sanat c_0 ja c_1 , $c_0 \neq c_1$. Palautetaan se koodisana, jonka dekodauksessa korjattiin vähemmän virheitä.*
 - (iv) *Dekodaus epäonnistuu, jos kummankin sanan r_0 ja r_1 dekodaus onnistuu yhtä monella korjauksella, mutta ne palauttavat koodin C eri sanat c_0 ja c_1 , $c_0 \neq c_1$, tai kummankin sanan dekodaus epäonnistuu.*

Olkoon x lähetetty sana ja vastaanotetussa sanassa r on ε pyyhkiymää ja e virhettä. Algoritmissa luodut sanat r_0 ja r_1 ovat etäisyyksillä $e + \varepsilon_0$ ja $e + \varepsilon_1$ sanasta x , missä $\varepsilon_0 + \varepsilon_1 = \varepsilon$.

Jos nyt oletetaan, että $2e + \varepsilon + 1 \leq d$, saadaan

$$e + \frac{\varepsilon}{2} \leq \frac{d-1}{2}.$$

Koska koodi C korjaa virheet määrään $(d - 1)/2$ asti ja $\varepsilon = \varepsilon_0 + \varepsilon_1$, on ainakin toisen sanoista r_0 ja r_1 etäisyys lähetetystä sanasta x riittävän pieni, jotta koodin C algoritmi dekodaa sen oikein. Ainakin toinen sanoista c_0 ja c_1 on siis oikea lähetetty sana. [20]

Tarkastellaan tilannetta, jossa molempien sanojen r_0 ja r_1 dekodauksessa on korjattu yhtä monta virhettä ja saatu koodisanat c_0 ja c_1 . Tässä tilanteessa algoritmi hyväksyy dekadaustuloksen, jos $c_0 = c_1$, mutta dekadaus epäonnistuu, jos $c_0 \neq c_1$.

Oletetaan, että virheille ja pyyhkiymille pätee $2e + \varepsilon + 1 \leq d$. Nyt siis toinen $c_i = x$. Oletetaan, että $c_0 = x$. Nyt $d(r_0, c_0) = d(r_0, x) = e + \varepsilon_0$. Koska kummankin sanan dekodauksessa korjattiin yhtä monta virhettä on myös $d(r_1, c_1) = e + \varepsilon_0$. Saadaan

$$d(x, c_1) \leq d(x, r_1) + d(r_1, c_1) = e + \varepsilon_1 + e + \varepsilon_0 = 2e + \varepsilon < d.$$

Siis $c_1 = x$.

Tilanteessa, jossa r_0 ja r_1 saadaan dekodattua koodisanoiksi c_0 ja c_1 yhtä monella korjauksella ja $c_0 \neq c_1$, on virheitä ja pyyhkiymiä tapahtunut yli rajan $2e + \varepsilon + 1 \leq d$ eikä dekadaus onnistu luotettavasti. Tässä tilanteessa ei siis kannata hyväksyä kumpaakaan dekadaustulosta c_0 tai c_1 .

Esimerkki 4.1.2. Olkoon C Hammingin $(7, 4)$ -koodi. Koodin C minimietäisyys on 3, eli se pystyy korjaamaan yhden virheen tai kaksi pyyhkiymää.

Oletetaan, että kanavasta on vastaanotettu sana 11?00?1. Korvataan pyyhkiymät ja saadaan sanat $r_0 = 1100001$ ja $r_1 = 1110011$. Dekodataan nämä koodin dekadausalgoritmillä ja saadaan $c_0 = 1100011$ ja $c_1 = 1100011$. Molemmat antoivat saman koodisanan, joten tämä hyväksytään dekadaustulokseksi.

Kanavasta on vastaanotettu sana 1011?1?. Nyt $r_0 = 1011010$ ja $r_1 = 1011111$. Saadaan $c_0 = r_0 = 1011010$ ja $c_1 = 1111111$. Kumpikin c_0 ja c_1 ovat koodisanoja, mutta c_0 vaati vähemmän korjauksia, joten saadaan, että dekodattu sana on $c_0 = 1011010$.

Kolmantena kanavasta on vastaanotettu sana 0110?01. Nyt $r_0 = 0110001$ ja $r_1 = 0110101$. Dekodauksesta saadaan $c_0 = 0111001$ ja $c_1 = 0100101$. Kumpikin on koodin C sana ja yhtä kaukana vastaanotetusta sanasta. Kanavassa on tapahtunut sekä virhe että pyyhkiymä, eikä koodin minimietäisyys riitä korjaamaan tätä.

Esimerkki 4.1.3. Olkoon C laajennettu Hammingin $(8, 4)$ -koodi, jonka minimietäisyys on 4. Kanavasta on vastaanotettu sana 0011110?. Nyt $r_0 = 00111100$ ja $r_1 = 00111101$. Sanan r_0 dekadaus ei onnistu. Dekoodaamalla r_1 saadaan 001111001. Laajennetulla Hammingin koodilla saatiin siis korjattua yksi virhe ja yksi pyyhkiymä.

Symmetrisessä binäärisessä kanavassa laajennettu Hammingin koodi korjaa tavallisen Hammingin koodin tavoin vain yhden virheen. Sen sijaan pyyhkiymäkanavassa saadaan virheen lisäksi korjattua pyyhkiymä. Ilman virheitä saadaan pyyhkiymiä korjattua kolme ($d = 4 > 0 + 3 = 3$).

4.2 Majoriteettilogiikka

Luvussa 5 käsitellään tulokoodien dekadausta. Tätä varten esitellään seuraavaksi kaksi dekadausalgoritmia lähtökoodien dekadaukseen. Tässä luvussa käsitellään

majoriteettilogiikkaa, jota hyödynnetään luvussa 5.4 käsiteltävässä tulokoodin dekodausalgoritmissa, jossa toinen koodeista on majoriteettilogiikalla dekodattava.

Majoriteettilogiikkaa käytti ensimmäisenä Reed vuonna 1954 Reedin–Mullerin koodeille [19]. Massey yleistä menetelmän vuonna 1963 [14]. Majoriteettilogiikalla dekodatessa hyödynnetään pariteetintarkistusmatriisista saatavia pariteetintarkistusyhtälöitä. Tarkoituksena on löytää jokaiselle bitille riittävän monta ortogonaalista yhtälöä. Tutkittava bitti ratkaistaan yhtälöistä ja niistä enemmistö antaa bitille oikean arvon. Majoriteettilogiikka korjaa kaikki virheet rajaan $e \leq (d-1)/2$ asti, jos koodi on ortogonalisoituva, eli ortogonaalisia pariteetintarkistusyhtälöitä voi löytää riittävän määrän [15].

Majoriteettilogiikan etuja ovat yksinkertainen implementointi ja algoritmin kyky korjata myös useita sellaisia virhevektoreita, joiden paino ylittää luvutun arvon $\lfloor J/2 \rfloor$ [15].

Määritelmä 4.2.1. Pariteetintarkistusyhtälöiden S_1, S_2, \dots, S_J joukkoa kutsutaan *ortogonaaliseksi* koordinaatin i suhteen, jos x_i esiintyy näistä jokaisessa, mutta mikään muu x_j ei esiinny useammassa kuin yhdessä joukon yhtälössä [15].

Lause 4.2.2. Jos kaikille koodin C koordinaateille löydetään J ortogonaalista pariteetintarkistusyhtälöä, koodi C korjaa $\lfloor J/2 \rfloor$ virhettä.

Todistus. Oletetaan, että kanavassa on syntynyt enintään $\lfloor J/2 \rfloor$ virhettä. olkoon x lähetetty sana, vastaanotettu $y = x + e$, jossa e on virhevektori.

Jos $e_i = 0$, virheet vaikuttavat enintään $\lfloor J/2 \rfloor$:een koordinaatin i suhteen ortogonaalisista pariteetintarkistusyhtälöistä. Yhtälöistä ainakin $\lceil J/2 \rceil$ antaa arvon nolla. Jos tilanne on tasan, otetaan $x_i = y_i$ yhtenä arviona, eli arvioidaan $e_i = 0$.

Jos $e_i = 1$, loput virheet vaikuttavat alle $\lfloor J/2 \rfloor$ yhtälöön. Enemmistö yhtälöistä antaa arvon yksi.

Enemmistö pariteetintarkistusyhtälöistä antaa siis aina oikean e_i :n arvon [15]. □

Selvästi majoriteettilogiikasta on todellista hyötyä vain koodeilla, joilla J on riittävän suuri. Jotta saataisiin dekodattua kaikki virheet, joiden lukumäärä $e \leq (d-1)/2$, täytyy J :n arvon olla $d-1$. Tästä tulee seuraava määritelmä.

Määritelmä 4.2.3. Olkoon koodin C minimietäisyys d . Koodi C on (*yhdessä vaiheessa*) *ortogonalisoituva* (engl. *completely orthogonalizable in one step*), joss on mahdollista muodostaa jokaiselle bitille $J = d-1$ pariteetintarkistusyhtälöä, jotka ovat ortogonaaliset kyseisen bitin suhteen [12].

Suurin osa majoriteettilogiikalla dekodattavista koodeista on syklisiä, sillä syklisille koodeille riittää löytää pariteetintarkistusyhtälöt yhdelle bitille. Jos koodi C on syklinen ja yhdelle koordinaatille on tiedossa J ortogonaalista pariteetintarkistusyhtälöä, saadaan muille koordinaateille J ortogonaalista pariteetintarkistusyhtälöä alkuperäisen yhtälöjoukon syklisillä siirroilla [15]. Pariteetintarkistusyhtälöihin osallistuu kuitenkin niin suuri joukko bittejä, että voi olla vaikeaa löytää riittävän monta ortogonaalista pariteetintarkistusyhtälöä ensimmäisellekään bitille.

Annetaan seuraavaksi algoritmi yksivaiheiselle majoriteettilogiikalle ja havainnollistetaan sitä esimerkin kautta.

Algoritmi 4.2.4. Olkoon C (yhdessä vaiheessa) ortogonaloituva (n, k, d) -koodi. Etsitään jokaiselle koodisanan c bitille c_i $d - 1$ bitin c_i suhteen ortogonaalista pariteetintarkastusyhtälöä $S_1^i, S_2^i, \dots, S_{d-1}^i$.

Kanavasta on vastaanotettu sana y . Kukin bitti y_i dekodataan siksi arvoksi, jonka enemmistö pariteetintarkastusyhtälöistä bitille antaa, tai jos vaihtoehdot menevät tasan, nollassa. Bitin y_i arvo valitaan siis enemmistöstä joukossa $\{0, S_1^i(y), \dots, S_{d-1}^i(y)\}$ [15].

Esimerkki 4.2.5. Tarkastellaan $(7, 3, 4)$ -Simplex-koodia, jolla on pariteetintarkastusmatriisi

$$H = \begin{pmatrix} 1 & 1 & 0 & 1 & 0 & 0 & 0 \\ 0 & 1 & 1 & 0 & 1 & 0 & 0 \\ 0 & 0 & 1 & 1 & 0 & 1 & 0 \\ 0 & 0 & 0 & 1 & 1 & 0 & 1 \end{pmatrix}.$$

Jotta koodi olisi yhdessä vaiheessa ortogonaloituva, täytyisi löytää $d - 1 = 3$ ortogonaalista pariteetintarkastusyhtälöä kullekin bitille. Bitille x_0 saadaan matriisin ensimmäiseltä riviltä, ensimmäiseltä, toiselta ja kolmannelta riviltä, sekä ensimmäiseltä, toiselta ja neljänneltä riviltä yhtälöt

$$\begin{aligned} x_0 &= x_1 && + x_3, \\ x_0 &= && x_4 + x_5 && \text{ja} \\ x_0 &= x_2 && + x_6. \end{aligned}$$

Koska Simplex-koodi on syklinen, saadaan tarkistusyhtälöt muille biteille näiden sykklisillä siirroilla. Esimerkiksi bitille x_1 saadaan pariteetintarkastusyhtälöt

$$\begin{aligned} x_1 &= x_2 && + x_4, \\ x_1 &= && x_5 + x_6 && \text{ja} \\ x_1 &= x_0 && + x_3. \end{aligned}$$

Näistä ensimmäistä yhtälöä vastaa tarkistusmatriisin rivi 2, toista yhtälöä vastaavat rivit 2, 3 sekä 4, ja kolmatta yhtälöä vastaa rivi 1.

Oletetaan, että kanavaan on lähetetty nollassa ja kanavasta on vastaanotettu sana $y = 0100000$. Ensimmäiselle bitille saadaan tarkastusyhtälöistä

$$\begin{aligned} y_0 &= 1 + 0 = 1, \\ y_0 &= 0 + 0 = 0, \text{ ja} \\ y_0 &= 0 + 0 = 0. \end{aligned}$$

Näistä enemmistö antaa arvon nolla, joten dekodataan $y_0 = 0$. Koordinaatille y_1 saadaan

$$\begin{aligned} y_1 &= 0 + 0 = 0, \\ y_1 &= 0 + 0 = 0, \text{ ja} \\ y_1 &= 0 + 0 = 0, \end{aligned}$$

joten dekodataan $y_1 = 0$. Virhe vaikuttaa kunkin koordinaatin y_2, \dots, y_6 pariteetintarkastusyhtälöistä vain yhteen aivan kuten koordinaatin y_0 kohdalla. Koko sana dekodattuna on 0000000.

Joillekin koodeille, jotka eivät ole yksivaiheisesti ortogonalisoituvia, majoriteetitilologiikkaa voi käyttää monivaiheisesti. Idea on sama, mutta arvio annetaan ensin koordinaattien summille yksittäisten koordinaattien sijaan.

Määritelmä 4.2.6. Pariteetintarkastusyhtälöiden S_1, S_2, \dots, S_J joukko on *ortogonaalinen koordinaattien a, b, \dots, c suhteen*, jos summa $x_a + x_b + \dots + x_c$ esiintyy jokaisessa yhtälössä S_i , mutta mikään muu x_j ei esiinny useammassa kuin yhdessä yhtälössä [15].

Ortogonaalista joukkoa käytetään nyt määrittämään arvo ensin summille $x_a + x_b + \dots + x_c$. Näiden tietojen avulla saadaan seuraavalla kierroksella arvioitua arvoja summille, joissa on pienempi määrä koordinaatteja. Näin edeten saadaan lopulta arvot yksittäisille koordinaateille. Dekooderia, jossa käydään L kierrosta majoriteetitilologiikkaa, sanotaan L -vaiheiseksi dekodausalgoritmiksi. L -vaiheista majoriteetitilologiikkaa käytetään esimerkiksi Reedin-Mullerin koodien dekodauksessa [15].

4.3 Forneyn yleistetyn minimietäisyyden algoritmi

Esitellään seuraavaksi luvussa 5.5 käsiteltävää yleisempää tulokoodien dekodausalgoritmia varten tarvittava Forneyn yleistetyn minimietäisyyden algoritmi (*Forney's generalised minimum distance (GMD) decoding algorithm*) [7].

Forneyn algoritmi on pehmeän päätöksen dekodausalgoritmi, jossa sana dekodataan yksinkertaisella virheet ja pyyhkiymät korjaavalla dekooderilla hyödyntäen kanavasta biteille saatuja luotettavuustietoja. Algoritmissa edetään kierroksittain merkitsemällä pyyhkiymiksi epäluotettavimmiksi merkittyjä koordinaatteja, ja yritetään dekodata näin saatu pyyhkiymiä sisältävä sana. Dekoodaustulos hyväksytään menetelmässä määritellyn yleistetyn etäisyyden perusteella. Yhdistämällä kanavan luotettavuusarviot ja algebrallinen dekooderi saadaan Forneyn algoritmissa käyttöön sekä propabilistisen että algebrallisen dekodauksen hyviä puolia [25].

Olkoon C q -arinen koodi, jonka minimietäisyys on d . Lähetetään koodin C sana $x = (x_0, x_1, \dots, x_{n-1})$ kanavaan. Kanavasta luetaan q -arinen sana $r = (r_0, r_1, \dots, r_{n-1})$ ja luotettavuusvektori $\alpha = (\alpha_0, \alpha_1, \dots, \alpha_{n-1})$, jossa $\alpha_i \in [0, 1]$ ja α_i kertoo bitin r_i luotettavuuden. Mitä suurempi luotettavuusvektorin koordinaatin α_i arvo on, sitä todennäköisemmin kanavasta luetun sanan koordinaatti r_i vastaa lähetetyn sanan koordinaattia c_i .

Dekodauksen tulosta mitataan yleistetyllä etäisyydellä, joka määritellään seuraavaksi. Vektorin $c = (c_0, c_1, \dots, c_{n-1})$ ja vektorin r , jolla on luotettavuusvektori α , *yleistetty etäisyys (generalized distance)* $d_G(c, r, \alpha)$ on

$$d_G(c, r, \alpha) = \sum_{i|c_i=r_i} (1 - \alpha_i)/2 + \sum_{i|c_i \neq r_i} (1 + \alpha_i)/2.$$

Algoritmin tulosteeksi valitaan ensimmäinen saatava dekodauksen tulos $c^{(j)}$, jolla dekodatun sanan $c^{(j)}$ ja vastaanotetun sanan r yleistetty etäisyys noudattaa kaavaa $d_G(c^{(j)}, r, \alpha) < d/2$. Dekodaus tapahtuu seuraavan algoritmin mukaan [25].

Algoritmi 4.3.1. Olkoon C (n, k, d) -koodi, jolla on tiedossa dekooderi, joka korjaa kaikki virheet ja pyyhkiymät, kun $d \geq 2e + \varepsilon + 1$. Kanavasta on vastaanotettu sana r ja sille luotettavuusvektori α .

1. Aloitetaan arvolla $j = 1$. Kierroksella j muodostetaan sana $r^{(j)}$ merkitsemällä sanan r biteistä pyyhkiymiksi $2j - 1$ epäluotettavinta koordinaattia, jos d on parillinen, tai $2j - 2$ epäluotettavinta koordinaattia, jos d on pariton. Tässä epäluotettavin tarkoittaa sitä koordinaattia, jota vastaava vektorin α koordinaatti on arvoltaan pienin.

2. Dekoodataan sana $r^{(j)}$ koodin C dekooderilla ja saadaan sana $c^{(j)}$.

3. (i) Jos kohdassa 2 dekooodaus onnistui ja

$$d_G(c^{(j)}, r^{(j)}, \alpha) < d/2,$$

palautetaan dekooodaustuloksena sana $c^{(j)}$.

(ii) Jos $d_G(c^{(j)}, r^{(j)}, \alpha) \geq d/2$ tai sanan $r^{(j)}$ dekooodaus epäonnistuu, tehdään uusi dekooodausyritys j :n arvolla $j + 1$.

(iii) Jos j ylittää arvon $\lceil d/2 \rceil$, lopetetaan ja todetaan dekooodaus epäonnistuneeksi.

Esimerkki 4.3.2. Olkoon C Hammingin $(7, 4)$ -koodi. Olkoon kanavasta luettu sana $r = 0001001$ ja sanan luotettavuusvektori $\alpha = (1, \frac{9}{10}, \frac{9}{10}, \frac{2}{10}, \frac{9}{10}, \frac{8}{10}, \frac{3}{10})$.

$j = 1$: Koodin C minimietäisyys $d = 3$ on pariton, joten korvataan $2j - 2 = 0$ bittiä pyyhkiymillä, eli dekooodataan sana $r^{(1)} = r = 0001001$.

0001001 dekooodataan sanaksi $c^{(1)} = 1001001$. Lasketaan tälle yleistetty etäisyys $d_G(c^{(1)}, r, \alpha)$. Saadaan

$$\begin{aligned} d_G(c^{(1)}, r, \alpha) &= \frac{1}{20} + \frac{1}{20} + \frac{8}{20} + \frac{1}{20} + \frac{2}{20} + \frac{7}{20} + 1 = 2 \\ &> \frac{d}{2}. \end{aligned}$$

Yleistetty etäisyys on liian suuri, joten tehdään toinen kierros.

$j = 2$: Korvataan $2j - 2 = 2$ bittiä pyyhkiymillä, eli dekooodataan sana $r^{(2)} = 000?00?$. Käytetään pyyhkiymien dekoodaamiseen algoritmia 4.1.1.

Dekoodataan sanat $r_0^{(2)} = 0000000$ ja $r_1^{(2)} = 0001001$, jolloin saadaan koodisanat $c_0^{(2)} = 0000000$ ja $c_1^{(2)} = 1001001$. Näistä dekooodaustulokseksi valitaan $c_0^{(2)}$, koska $c_0^{(2)} = r_0^{(2)}$ eli sen dekoodamisessa korjattiin vähemmän virheitä.

Lasketaan sanalle $c_0^{(2)}$ yleistetty etäisyys $d_G(c_0^{(2)}, r, \alpha)$. Saadaan

$$\begin{aligned} d_G(c_0^{(2)}, r, \alpha) &= 0 + \frac{1}{20} + \frac{1}{20} + \frac{1}{20} + \frac{2}{20} + \frac{12}{20} + \frac{13}{20} = \frac{3}{2} \\ &= \frac{d}{2}, \end{aligned}$$

joten dekooodaustulos $c_0^{(2)} = 0000000$ hyväksytään.

Esimerkissä nähtiin tyypillinen tilanne, jossa luotettavuustietojen käyttö muutti dekooderin toimintaa. Vastaavassa tilanteessa kovapäätösdekoodauksessa kaksi epäluotettavaa päätöstä johtaisi siihen, että yksi hyvin luotettava bitti dekodattaisiin väärin. Todennäköisempi selitys vastaanotetulle viestille on kuitenkin, että virheelisesti on tulkittu epäluotettavat kaksi bittiä.

Forneyn algoritmia käytetään myös muodossa, jossa valitaan aina paras tehdyistä dekoodausrityksistä silloinkin, kun algoritmista 4.3.1 dekoodaus todettaisiin epäonnistuneeksi. Tällöin tilanteessa, jossa ehto $d_G(c^{(j)}, r^{(j)}, \alpha) < d/2$ ei täyty millään kierroksella j , kun $j < d/2$, käytetään yleistettyä etäisyyttä parhaimman dekoodaustuloksen valitsemiseen.

Dekoodaus tapahtuu kuten algoritmista 4.3.1. Dekoodaustulos $c^{(j)}$ hyväksytään, jos yleistetylle etäisyydelle on voimassa $d_G(c^{(j)}, r^{(j)}, \alpha) < d/2$, sillä tämä on paras saatava tulos. Dekoodaus eroaa algoritmista 4.3.1 kohdassa 3.(iii). Sen sijaan että dekoodaus todettaisiin epäonnistuneeksi, valitaan nyt dekoodaustuloksista $c^{(j)}$ se, jolla yleistetty etäisyys $d_G(c^{(j)}, r^{(j)}, \alpha)$ on pienin.

Simulaatioiden avulla voi tutkia, onko tästä versiosta sovelluksen kannalta hyötyä, vai johtaako se häiritsevän usein virhetulkintaan.

5 Tulokoodien dekodaus

5.1 Johdanto dekodaukseen

Tulokoodien dekodauksessa hyödynnetään lähtökoodien dekodausalgoritmeja. Yksinkertaisimmillaan voidaan käyttää seuraavanlaista algoritmia.

Algoritmi 5.1.1. *Olkoon $C = C_1 \otimes C_2$. Dekoodataan kanavasta luettu sana y seuraavasti*

1. *Dekoodataan pystyriivit koodin C_1 dekodausalgoritmilla. Saadaan alustavasti dekodattu sana y' .*
2. *Dekoodataan sanan y' vaakarivit koodin C_2 dekodausalgoritmilla ja saadaan sana y'' . Jos y'' on koodisana, hyväksytään se dekodautulokseksi. Muussa tapauksessa todetaan dekodauksen epäonnistuneen.*

Algoritmilla 5.1.1 ei kuitenkaan saada korjattua kaikkia painoltaan alle $(d - 1)/2$ olevia virheitä. Luvuissa 5.2 ja 5.3 tarkastellaan, millaisia virheitä tällaisella dekooderilla saadaan korjattua ja millaisten virhekuvioiden kohdalla ajaudutaan ongelmiin.

Luvuissa 5.4 ja 5.5 esitellään kehittyneemmät algoritmit, joissa vaakarivien dekodauksessa hyödynnetään pystyrividekooderilta saatavaa luotettavuusdataa. Tällöin selvitetään myös virhekuvioista, jotka yksinkertaisella dekooderilla tuottivat dekodausvirheitä tai aiheuttivat dekodauksen epäonnistumisen. Tällöin saadaan korjattua kaikki virheet ja pyyhkiymät rajaan $2e + \varepsilon < d$ asti.

5.2 Ryöppyvirheet

Tulokoodien rakenteesta johtuen peräkkäisiä virheitä saadaan korjattua suurempi määrä kuin koodin minimietäisyydestä saatava $(d - 1)/2$ satunnaisvirhettä. Kanavassa virheitä esiintyykin usein useampia peräkkäin esimerkiksi kanavan pulssimaisen häiriön tai tallennusvälineessä olevan virheen, kuten DVD-levyn naarmun, takia. Tällaisia peräkkäisiä virheitä kutsutaan ryöppyiksi.

Ryöppyjä korjataan lisäämällä koodiin lomittelua (*interleaving*), jossa järjestelmällä peräkkäisten sanojen koordinaatteja uudelleen saadaan peräkkäiset virheet jakautumaan useampaan sanaan. Tulokoodien rakenteeseen sisältyy kuitenkin impliittistä lomittelua: vaakariveille syntyvä ryöppy tekee vaakarivit lukukelvottomiksi, mutta jakautuu useampaan pystyriiviin, ja sana saadaan korjattua. Käsitellään seuraavaksi tätä tulokoodien rakenteeseen sisältyvää ryöppyvirheiden korjausta.

Määritelmä 5.2.1. Vektoria $e \in V_n(q)$ sanotaan *ryöppyksi*, jos se on muotoa

$$(0, 0, \dots, 0, e_i, e_{i+1}, \dots, e_{i+b-1}, 0, 0, \dots, 0),$$

jossa $e_i \neq 0$ ja $e_{i+b-1} \neq 0$. Ryöppyn e pituus on b . Koodia, joka pystyy korjaamaan mielivaltaisen enintään b :n pituisen ryöppyn, sanotaan b -ryöppyvirheet korjaavaksi koodiksi.

Lause 5.2.2. Olkoon C_1 (n_1, k_1, d_1) -koodi ja C_2 (n_2, k_2, d_2) -koodi. Jos C_1 on l_1 -ryöppyvirheet korjaava ja C_2 on l_2 -ryöppyvirheet korjaava, tulokoodi $C_1 \otimes C_2$ on $\max\{n_1l_2, n_2l_1\}$ -ryöppyvirheet korjaava.

Todistus. Oletetaan, että koodin $C_1 \otimes C_2$ sana lähetetään kanavaan vaakariveittäin. Kun kanavasta vastaanotettu sana kootaan taas matriisimuotoon, kanavassa syntynyt enintään n_1l_2 :n pituinen ryöppy osuu enintään l_2 peräkkäiseen vaakariviin. Ryöppy siis vaikuttaa kussakin pystyrivissä enintään l_2 :n pituisena ryöppyvirheenä. Koska C_2 on l_2 -ryöppyvirheet korjaava, sen korjausalgoritmi pystyy korjaamaan pystyrivit. Koodi $C_1 \otimes C_2$ on siis n_1l_2 -ryöppyvirheet korjaava.

Vastaavasti lähettämällä sana kanavaan pystyryiveittäin saadaan korjattua n_2l_1 :n pituiset ryöpyt. Koodi $C_1 \otimes C_2$ on siis $\max\{n_1l_2, n_2l_1\}$ -ryöppyvirheet korjaava [12]. \square

Koodin C_1 ryöppyvirheiden korjauskyky l_1 on vähintään yhtä suuri kuin satunnaisvirheiden korjauskyky $(d_1 - 1)/2$, ja samoin koodilla C_2 pätee $l_2 \geq (d_2 - 1)/2$. Tulokoodin ryöppyvirheiden korjauskyky $\max\{n_1l_2, n_2l_1\}$ on siis selvästi suurempi kuin satunnaisvirheitä korjattava määrä $(d_1d_2 - 1)/2$. Tarkastellaan tätä esimerkin kautta.

Esimerkki 5.2.3. Olkoon C kahden Hammingin $(7, 4)$ -koodin tulokoodi. Hammingin $(7, 4)$ -koodin minimietäisyys on 3, joten tulokoodin minimietäisyys on 9. Koodi pystyy siis korjaamaan neljä satunnaisvirhettä. Hammingin koodi korjaa ryöppyvirheitä vastaavan määrän kuin satunnaisvirheitä, eli yhden virheen. Tulokoodilla saadaan kuitenkin lauseen 5.2.2 mukaan korjattua peräkkäisiä virheitä $7 \times 1 = 7$ pituisiin ryöppyihin asti.

Käytetään dekodeukseen algoritmia 5.1.1. Koska algoritmissa dekooodaus aloitetaan pystyryiveistä, kannattaa koodisana lähettää kanavaan vaakariveittäin. Näin kanavassa mahdollisesti syntyvä ryöppyvirhe jakautuu mahdollisimman moneen pystyryviin ja sen dekooodaus helpottuu.

Oletetaan, että kanavaan lähetetään nollasana ja siihen syntyy seitsemän bitin mittainen ryöppyvirhe alkaen koordinaatista $(2, 6)$:

$$\left(\begin{array}{cccc|cccc} 0 & 0 & 0 & 0 & 0 & 0 & 0 & 0 \\ 0 & 0 & 0 & 0 & 0 & 0 & 0 & 0 \\ 0 & 0 & 0 & 0 & 0 & 0 & 1 & 0 \\ 1 & 1 & 1 & 1 & 1 & 1 & 0 & 0 \\ \hline 0 & 0 & 0 & 0 & 0 & 0 & 0 & 0 \\ 0 & 0 & 0 & 0 & 0 & 0 & 0 & 0 \\ 0 & 0 & 0 & 0 & 0 & 0 & 0 & 0 \end{array} \right)$$

Ryöppy vaikuttaa jokaiseen pystyryviin enintään yhdessä koordinaatissa, joten Hammingin koodin dekooodausalgoritmi korjaa pystyrivit oikein ja ryöppy saadaan korjattua.

Esimerkki 5.2.4. Lause 5.2.2 lupaa kahden Hammingin $(7,4)$ -koodin tulokoodin korjaavan seitsemän mittaiset ryöpyt. Koodi korjaa kuitenkin myös kaikki kahdeksan mittaiset ryöppyvirheet. Tarkastellaan kahdeksan mittaista ryöppyä, joka alkaa samasta koordinaatista kuin edellisessä esimerkissä. Ryöppyvirhe on muotoa

$$\left(\begin{array}{cccc|ccc} 0 & 0 & 0 & 0 & 0 & 0 & 0 \\ 0 & 0 & 0 & 0 & 0 & 0 & 0 \\ 0 & 0 & 0 & 0 & 0 & 0 & 1 \\ 1 & 1 & 1 & 1 & 1 & 1 & 1 \\ \hline 0 & 0 & 0 & 0 & 0 & 0 & 0 \\ 0 & 0 & 0 & 0 & 0 & 0 & 0 \\ 0 & 0 & 0 & 0 & 0 & 0 & 0 \end{array} \right).$$

Pystyrivien dekodaus korjaa näistä kaikki paitsi viimeisen pystyrivin, jossa tapahtuu dekodausvirhe. Saadaan alustavasti korjattu sana

$$\left(\begin{array}{cccc|ccc} 0 & 0 & 0 & 0 & 0 & 0 & 0 \\ 0 & 0 & 0 & 0 & 0 & 0 & 0 \\ 0 & 0 & 0 & 0 & 0 & 0 & 1 \\ 0 & 0 & 0 & 0 & 0 & 0 & 1 \\ \hline 0 & 0 & 0 & 0 & 0 & 0 & 1 \\ 0 & 0 & 0 & 0 & 0 & 0 & 0 \\ 0 & 0 & 0 & 0 & 0 & 0 & 0 \end{array} \right).$$

Koska virheitä on vain yhdellä pystyrivillä, vaakarividekooderi korjaa tämän oikein ja saadaan nollasana.

Esimerkki 5.2.5. Toisen iteraation lisääminen algoritmiin 5.1.1 auttaa erityistapauksissa korjaamaan enemmän virheitä. Tarkastellaan yhdeksän pituista ryöppyä alkaen koordinaatista (1, 6):

$$\left(\begin{array}{cccc|ccc} 0 & 0 & 0 & 0 & 0 & 0 & 0 \\ 0 & 0 & 0 & 0 & 0 & 0 & 1 \\ 1 & 1 & 1 & 1 & 1 & 1 & 1 \\ 1 & 0 & 0 & 0 & 0 & 0 & 0 \\ \hline 0 & 0 & 0 & 0 & 0 & 0 & 0 \\ 0 & 0 & 0 & 0 & 0 & 0 & 0 \\ 0 & 0 & 0 & 0 & 0 & 0 & 0 \end{array} \right).$$

Pystyrivien dekodaus tuottaa matriisin

$$\left(\begin{array}{cccc|ccc} 0 & 0 & 0 & 0 & 0 & 0 & 1 \\ 0 & 0 & 0 & 0 & 0 & 0 & 1 \\ 1 & 0 & 0 & 0 & 0 & 0 & 1 \\ 1 & 0 & 0 & 0 & 0 & 0 & 0 \\ \hline 1 & 0 & 0 & 0 & 0 & 0 & 0 \\ 0 & 0 & 0 & 0 & 0 & 0 & 0 \\ 0 & 0 & 0 & 0 & 0 & 0 & 0 \end{array} \right)$$

ja vaakarivien dekodaus matriisiin

$$\left(\begin{array}{cccc|ccc} 0 & 0 & 0 & 0 & 0 & 0 & 0 \\ 0 & 0 & 0 & 0 & 0 & 0 & 0 \\ 1 & 0 & 0 & 1 & 0 & 0 & 1 \\ 0 & 0 & 0 & 0 & 0 & 0 & 0 \\ \hline 0 & 0 & 0 & 0 & 0 & 0 & 0 \\ 0 & 0 & 0 & 0 & 0 & 0 & 0 \\ 0 & 0 & 0 & 0 & 0 & 0 & 0 \end{array} \right).$$

Jos nyt dekodataan pystyrit vielä kerran, saadaan matriisi dekodattua nol- lamatriisiksi.

5.3 Pyyhkiymien hyödyntäminen tulokoodin dekodauksessa

Algoritmi 5.1.1 toimii vain sellaisilla virhekuvioilla, joilla pystyri- vien dekodaus tuottaa matriisin, johon jäävien virheiden kuvio on vaakarivikoodin dekodatta- vissa [12]. Jos pystyri- vikoodilla C_1 on dekooderi, joka korjaa $\leq (d_1 - 1)/2$ virhettä ja vaakarivikoodilla C_2 on dekooderi, joka korjaa $\leq (d_2 - 1)/2$ virhettä, tällainen dekodaus korjaa vain noin $d_1 d_2 / 4$ virhettä. On helppo löytää virhe, joka ei ole de- koodattavissa, ja jonka paino on $(\lfloor (d_1 - 1)/2 \rfloor + 1)(\lfloor (d_2 - 1)/2 \rfloor + 1)$ [6]. Seuraavana on esimerkki virhekuviosta, jota ei algoritmilla 5.1.1 saada korjattua.

Esimerkki 5.3.1. Tarkastellaan taas esimerkin 5.2.3 koodia. Koodi C on kahden Hammingin $(7, 4)$ -koodin tulokoodi ja sen minimietäisyys d on 9. Oletetaan, että kanavaan lähetetään nollasana ja kanavassa tapahtuu virheet koordinaateissa $(3, 3)$, $(3, 5)$, $(7, 3)$ ja $(7, 5)$ eli kanavasta luetaan matriisi

$$\left(\begin{array}{cccc|ccc} 0 & 0 & 0 & 0 & 0 & 0 & 0 \\ 0 & 0 & 0 & 0 & 0 & 0 & 0 \\ 0 & 0 & 0 & 0 & 0 & 0 & 0 \\ 0 & 0 & 0 & 1 & 0 & 1 & 0 \\ \hline 0 & 0 & 0 & 0 & 0 & 0 & 0 \\ 0 & 0 & 0 & 0 & 0 & 0 & 0 \\ 0 & 0 & 0 & 1 & 0 & 1 & 0 \end{array} \right).$$

Nyt virheitä on neljä ja $d \geq 2 \times 4 + 1$ eli koodin C pitäisi pystyä korjaamaan ne. Algoritmi 5.1.1 ei kuitenkaan dekodaa sanaa oikein, koska virhekuvio muodostaa kaksi virhettä sekä pysty- että vaakariveille, eikä Hammingin $(7, 4)$ -koodin algoritmi kykene korjaamaan niitä oikein. Neljännellä ja kuudennella pystyri- villä dekooderi olettaa virheen tapahtuneen ensimmäisessä bitissä. Saadaan matriisi

$$\left(\begin{array}{cccc|ccc} 0 & 0 & 0 & 1 & 0 & 1 & 0 \\ 0 & 0 & 0 & 0 & 0 & 0 & 0 \\ 0 & 0 & 0 & 0 & 0 & 0 & 0 \\ 0 & 0 & 0 & 1 & 0 & 1 & 0 \\ \hline 0 & 0 & 0 & 0 & 0 & 0 & 0 \\ 0 & 0 & 0 & 0 & 0 & 0 & 0 \\ 0 & 0 & 0 & 1 & 0 & 1 & 0 \end{array} \right).$$

Vaakarivien dekodauksessa on sama kahden virheen ongelma, ja matriisi dekodataan virheellisesti sanaksi

$$\left(\begin{array}{cccc|cccc} 0 & 1 & 0 & 1 & 0 & 1 & 0 & \\ 0 & 0 & 0 & 0 & 0 & 0 & 0 & \\ 0 & 0 & 0 & 0 & 0 & 0 & 0 & \\ 0 & 1 & 0 & 1 & 0 & 1 & 0 & \\ \hline 0 & 0 & 0 & 0 & 0 & 0 & 0 & \\ 0 & 0 & 0 & 0 & 0 & 0 & 0 & \\ 0 & 1 & 0 & 1 & 0 & 1 & 0 & \end{array} \right).$$

Esimerkki 5.3.2. Jos edellisen esimerkin tilanteessa käytössä olisi ollut BEC-kanava, ja virheelliset bitit c_{33} , c_{35} , c_{53} ja c_{55} olisi ykkösten sijaan tulkittu pyyhkiymiksi, olisi pystyrividekooderi saanut ne korjattua.

Hyödynnetään tulokoodien hyvää ryöppyvirheiden sietokykyä ja tietoa, että Hammingin koodi pystyy korjaamaan pyyhkiymiä kaksi. Merkitään virheelliset rivit kokonaan pyyhkiymiksi, jolloin saadaan matriisi

$$\left(\begin{array}{cccc|cccc} 0 & 0 & 0 & ? & 0 & ? & 0 & \\ 0 & 0 & 0 & ? & 0 & ? & 0 & \\ 0 & 0 & 0 & ? & 0 & ? & 0 & \\ ? & ? & ? & ? & ? & ? & ? & \\ \hline 0 & 0 & 0 & ? & 0 & ? & 0 & \\ 0 & 0 & 0 & ? & 0 & ? & 0 & \\ ? & ? & ? & ? & ? & ? & ? & \end{array} \right).$$

Dekoodataan tämä pystyriveittäin. Esimerkissä 4.1.2 nähtiin, että Hammingin (7,4)-koodi korjaa kaksi pyyhkiymää, joten dekooderi selviää kaikista pystyriveistä lukuunottamatta niitä, joilla kaikki bitit ovat pyyhkiymiä. Saadaan

$$\left(\begin{array}{cccc|cccc} 0 & 0 & 0 & ? & 0 & ? & 0 & \\ 0 & 0 & 0 & ? & 0 & ? & 0 & \\ 0 & 0 & 0 & ? & 0 & ? & 0 & \\ 0 & 0 & 0 & ? & 0 & ? & 0 & \\ \hline 0 & 0 & 0 & ? & 0 & ? & 0 & \\ 0 & 0 & 0 & ? & 0 & ? & 0 & \\ 0 & 0 & 0 & ? & 0 & ? & 0 & \end{array} \right).$$

Vaakariveillä on nyt kullakin kaksi pyyhkiymää, joten vaakarividekooderi selviää niistä ja koko sana saadaan dekodattua:

$$\left(\begin{array}{cccc|cccc} 0 & 0 & 0 & 0 & 0 & 0 & 0 & \\ 0 & 0 & 0 & 0 & 0 & 0 & 0 & \\ 0 & 0 & 0 & 0 & 0 & 0 & 0 & \\ 0 & 0 & 0 & 0 & 0 & 0 & 0 & \\ \hline 0 & 0 & 0 & 0 & 0 & 0 & 0 & \\ 0 & 0 & 0 & 0 & 0 & 0 & 0 & \\ 0 & 0 & 0 & 0 & 0 & 0 & 0 & \end{array} \right).$$

Tässä lähestymisessä ongelmana on tietää, milloin yrittää suoraan dekodata ja milloin merkitä virheelliset rivit pyyhkiymiksi. Hamming (7,4) on täydellinen koodi, joten kaikki ei-koodisanat ovat yhden bitin päässä jostain koodisanasta. Koodi ei siis tunnista, onko tapahtunut yhden vai kahden bitin virhe ja kahden bitin virhe dekodataan virheellisesti yhden bitin virheenä.

Jos taas ensimmäisellä kierroksella merkittään kaikki virheelliset rivit pyyhkiymiksi, syntyy tilanteita, joissa pyyhkiymiä on liikaa korjattavaksi, mutta itse virheet olisivat olleet korjattavissa. Tällainen tilanne on, jos virheet ovat kolmella tai neljällä eri vaaka- ja pystyrivillä, kuten esimerkiksi virhekuviolla

$$\left(\begin{array}{cccc|ccc} 0 & 0 & 0 & 0 & 0 & 0 & 0 \\ 0 & 0 & 0 & 0 & 0 & 0 & 0 \\ 0 & 0 & 0 & 1 & 0 & 0 & 1 \\ 0 & 0 & 0 & 0 & 1 & 0 & 0 \\ \hline 0 & 0 & 0 & 0 & 0 & 0 & 0 \\ 0 & 0 & 0 & 0 & 0 & 0 & 1 \\ 0 & 0 & 0 & 0 & 0 & 0 & 0 \end{array} \right).$$

Jos nyt yritetään muuttaa virheelliset rivit pyyhkiymiksi, päädytään tilanteeseen, jossa on kolme pyyhkiymää sekä pysty- että vaakariveillä, mikä on liikaa Hammingin (7,4)-koodille. Tämä virhekuvio olisi sen sijaan algoritmilla 5.1.1 suoraan korjattavissa: kaikki pystyrivit viimeistä lukuunottamatta menevät nolliksi. Viimeisellä pystyrivillä tehdään dekodausvirhe, mutta se korjaantuu vaakarivien dekodauksessa.

Esimerkki 5.3.3. Toisin kuin Hammingin (7,4)-koodi, laajennettu Hammingin (8,4)-koodi tunnistaa, onko kanavassa tapahtunut virheitä pariton vai parillinen määrä. Jos siis valitaan lähtökoodeiksi C_1 ja C_2 Hammingin (8,4)-koodit, voidaan tätä ominaisuutta hyödyntää dekodauksessa. Tulokoodin $C = C_1 \otimes C_2$ minimietäisyys on 16, joten sen tulisi korjata 7 virhettä.

Dekodataan tulokoodin sana seuraavasti: jos pystyrivi ei ole koodisana ja pystyrivikoodin dekooderi huomaa virheitä parittoman määrän, pystyrivi merkitään pyyhkiymiksi. Jos virheitä on pariton määrä, yritetään pystyriviä korjata.

Nyt dekodaus onnistuu esimerkiksi virhekuviolla

$$\left(\begin{array}{cccc|cccc} 0 & 0 & 0 & 0 & 0 & 0 & 0 & 0 \\ 0 & 0 & 0 & 0 & 0 & 0 & 0 & 0 \\ 0 & 1 & 0 & 1 & 1 & 1 & 0 & 0 \\ 0 & 0 & 0 & 0 & 0 & 0 & 0 & 0 \\ \hline 0 & 1 & 0 & 1 & 1 & 0 & 0 & 0 \\ 0 & 0 & 0 & 0 & 0 & 0 & 0 & 0 \\ 0 & 0 & 0 & 0 & 0 & 0 & 0 & 0 \\ 0 & 0 & 0 & 0 & 0 & 0 & 0 & 0 \end{array} \right).$$

Pystyrivien dekodauksen jälkeen saadaan

$$\left(\begin{array}{cccc|cccc} 0 & ? & 0 & ? & ? & 0 & 0 & 0 \\ 0 & ? & 0 & ? & ? & 0 & 0 & 0 \\ 0 & ? & 0 & ? & ? & 0 & 0 & 0 \\ 0 & ? & 0 & ? & ? & 0 & 0 & 0 \\ \hline 0 & ? & 0 & ? & ? & 0 & 0 & 0 \\ 0 & ? & 0 & ? & ? & 0 & 0 & 0 \\ 0 & ? & 0 & ? & ? & 0 & 0 & 0 \\ 0 & ? & 0 & ? & ? & 0 & 0 & 0 \end{array} \right) .$$

Hammingin (8,4)-koodi korjaa kolme pyyhkiymää, saadaan kaikki pyyhkiymät vaakarivien dekodauksessa korjattua.

Kaikkien seitsemänpainoisten virhekuvioiden dekodaus ei kuitenkaan onnistu tällä menetelmällä. Tarkastellaan virhekuviota

$$\left(\begin{array}{cccc|cccc} 0 & 1 & 1 & 0 & 0 & 0 & 0 & 0 \\ 0 & 1 & 1 & 0 & 0 & 0 & 0 & 0 \\ 0 & 0 & 0 & 0 & 0 & 0 & 0 & 0 \\ 0 & 1 & 1 & 0 & 0 & 0 & 0 & 0 \\ \hline 0 & 0 & 0 & 0 & 1 & 0 & 0 & 0 \\ 0 & 0 & 0 & 0 & 0 & 0 & 0 & 0 \\ 0 & 0 & 0 & 0 & 0 & 0 & 0 & 0 \\ 0 & 0 & 0 & 0 & 0 & 0 & 0 & 0 \end{array} \right) .$$

Vektori 11010000 on yhden päässä koodisanasta 11011000, joten pystyrivien dekodauksen jälkeen saadaan

$$\left(\begin{array}{cccc|cccc} 0 & 1 & 1 & 0 & 0 & 0 & 0 & 0 \\ 0 & 1 & 1 & 0 & 0 & 0 & 0 & 0 \\ 0 & 0 & 0 & 0 & 0 & 0 & 0 & 0 \\ 0 & 1 & 1 & 0 & 0 & 0 & 0 & 0 \\ \hline 0 & 1 & 1 & 0 & 0 & 0 & 0 & 0 \\ 0 & 0 & 0 & 0 & 0 & 0 & 0 & 0 \\ 0 & 0 & 0 & 0 & 0 & 0 & 0 & 0 \\ 0 & 0 & 0 & 0 & 0 & 0 & 0 & 0 \end{array} \right) .$$

Vektoria 01100000 ei saada vaakarividekooderilla dekodattua. Jos taas vaakarivit nyt merkittäisiin pyyhkiymiksi, olisi pystyriveillä kullakin neljä pyyhkiymää, mikä on pystyrividekooderille liian paljon.

5.4 Wainbergin majoriteettiologiikka-algoritmi

Esitellään Wainbergin tulokoodien dekodausalgoritmi [24], joka korjaa kaikki virheet ja pyyhkiymät rajaan $d \geq 2e + \varepsilon + 1$ asti [23]. Ainakin toisen lähtökoodeista on oltava majoriteettiologiikalla dekodattava.

Algoritmissa oletetaan, että vaakarivikoodi C_2 on yhdessä vaiheessa ortogonaalisoituva, jolloin jokaiselle koodin C_2 informaatiobitille on olemassa $d_2 - 1$ ortogonaalista pariteetintarkistusyhtälöä. Bitin vastaanotettu arvo mukaan luettuna bitin

arvolle saadaan siis d_2 lineaarisesti riippumatonta estimaattia. Menetelmä mukautuu myös L -vaiheisesti ortogonalisoituvalla koodilla.

Pystyrivikoodin C_1 ei tarvitse olla majoriteettiologiikalla dekodattava, vaan riittää, että sillä on dekodausalgoritmi, joka korjaa e virhettä ja ε pyyhkiymää, kun $d_1 \geq 2e + \varepsilon + 1$ [24].

Algoritmi 5.4.1. *Olkoon $C = C_1 \otimes C_2$ tulokoodi, jossa C_1 on (n_1, k_1, d_1) -koodi ja C_2 on (n_2, k_2, d_2) -koodi. Olkoon C_2 yhdessä vaiheessa ortogonalisoituva koodi. Kanavasta on vastaanotettu sana y .*

1. *Dekoodataan matriisin y pystyrivit käyttäen koodin C_1 dekodausalgoritmia. Jokaiselle pystyriville lasketaan paino $(-2e_i - \varepsilon_i)$, jossa e_i on arvioitu virheiden määrä ja ε_i pyyhkiymien määrä pystyrivillä i , $0 \leq i \leq n_2$.*

Saadaan alustavasti dekodattu sana r sekä painovektori $\alpha = (\alpha_0, \alpha_1, \dots, \alpha_{n_2-1})$, jossa $\alpha_i = -2e_i - \varepsilon_i$.

2. *Dekoodataan alustavasti dekodatun sanan r vaakarivit käyttämällä majoriteettiologiikan antamia estimaatteja. Estimaateista valitaan luotettavin pystyrividekodauksessa lasketun luotettavuusvektorin avulla.*

Jokaisella vaakarivin bitillä on d_2 riippumatonta estimaattia. Näille määrätään painot seuraavasti: asetetaan paino d_1 , johon lisätään estimaatissa esiintyvien bittien vektorissa α esiintyvät painot. Jos summasta tulee negatiivinen, määrätään paino nollassi. Nyt informaatiobitille valitaan sen estimaatin antama arvo, jonka paino on suurin.

Esimerkki 5.4.2. *Olkoon $C = C_1 \otimes C_2$, jossa C_1 on Hammingin $(7, 4)$ -koodi ja C_2 on esimerkissä 4.2.5 käytetty Simplex $(7, 3, 4)$ -koodi. Koodin C minimietäisyys on 12.*

Oletetaan, että kanavaan on lähetetty nollasana ja kanavasta on vastaanotettu sana

$$y = \left(\begin{array}{ccc|cccc} 0 & 0 & 0 & 0 & 0 & 0 & 0 \\ 1 & 0 & 1 & 0 & 0 & 0 & 0 \\ 0 & 0 & 0 & 0 & 0 & 0 & 0 \\ 0 & ? & 0 & 0 & 0 & 0 & 0 \\ \hline 1 & ? & 1 & 0 & 0 & 0 & 0 \\ 0 & ? & 0 & 0 & 0 & 0 & 0 \\ 0 & 0 & 0 & 0 & 0 & 0 & 0 \end{array} \right).$$

1. *Dekoodataan sanan y pystyrivit koodin C_1 dekooderilla. Saadaan alustavasti dekodattu sana*

$$\left(\begin{array}{ccc|cccc} 0 & 0 & 0 & 0 & 0 & 0 & 0 \\ 1 & 0 & 1 & 0 & 0 & 0 & 0 \\ 0 & 0 & 0 & 0 & 0 & 0 & 0 \\ 0 & ? & 0 & 0 & 0 & 0 & 0 \\ \hline 1 & ? & 1 & 0 & 0 & 0 & 0 \\ 0 & ? & 0 & 0 & 0 & 0 & 0 \\ 1 & 0 & 1 & 0 & 0 & 0 & 0 \end{array} \right).$$

Dekoodauksessa ensimmäisessä pystyriivissä arvoitiin olleen yksi virhe, joten saadaan $\alpha_0 = -2$. Toisella pystyriivillä on kolme pyyhkiymää, joten saadaan $\alpha_1 = -3$. Kolmannella pystyriivillä saadaan ensimmäisen tavoin $\alpha_2 = -2$, ja loppuilla pystyriiveillä ei dekodauksessa tarvittu korjauksia, joten $\alpha_3 = \alpha_4 = \alpha_5 = \alpha_6 = 0$. Painovektori α on siis

$$\alpha = (-2, -3, -2, 0, 0, 0, 0).$$

2. Dekoodataan vaakarivit.

Rivi 1: Ensimmäisellä rivillä kaikkien koordinaattien arvo on 0, joten se selvästi dekodataan nollasanaksi.

Rivi 2: $r = (101000)$, $\alpha = (-2, -3, -2, 0, 0, 0, 0)$ Käytetään esimerkissä 4.2.5 saatuja pariteetintarkistusyhtälöitä ja bitille r_0 saadaan

$$\begin{array}{ll} r_0 = 1, & \text{paino } 4 - 2 = 2 \\ r_0 = r_1 + r_3 = 0 + 0 = 0, & \text{paino } 4 - 3 + 0 = 1 \\ r_0 = r_4 + r_5 = 0 + 0 = 0, & \text{paino } 4 + 0 + 0 = 4 \\ r_0 = r_2 + r_6 = 1 + 0 = 1, & \text{paino } 4 - 2 + 0 = 2 \end{array}$$

Näistä suurin paino on kolmannella estimaatilla, josta saadaan $r_0 = 0$. Bitille r_1 saadaan estimaatit

$$\begin{array}{ll} r_1 = 0, & \text{paino } 4 - 3 = 1 \\ r_1 = r_2 + r_4 = 1 + 0 = 1, & \text{paino } 4 - 2 + 0 = 2 \\ r_1 = r_5 + r_6 = 0 + 0 = 0, & \text{paino } 4 + 0 + 0 = 4 \\ r_1 = r_0 + r_3 = 1 + 0 = 1, & \text{paino } 4 - 2 + 0 = 2 \end{array}$$

Näistä suurin paino on taas kolmannella estimaatilla, josta saadaan $r_1 = 0$. Jatketaan rivin dekodauksista vastaavasti, ja saadaan 0000000.

Rivi 3: Kuten rivi 1.

Rivi 4: Pyyhkiytyneen bitin r_1 korkeapainoisin estimaatti on $r_1 = r_5 + r_6 = 0$, joten se dekodataan nollassa. Saadaan rivi 0000000.

Rivi 5: Bitin r_0 laadukkain estimaatti on edelleen $r_4 + r_5$, josta saadaan $r_0 = 0$. Samoin bitin r_1 laadukkain estimaatti on $r_5 + r_6 = 0$. Bitille r_2 valitaan estimaatti $r_3 + r_5 = 0$.

Rivi 6: Kuten rivi 4.

Rivi 7: Kuten rivi 2.

Lopullinen dekodattu sana on

$$\left(\begin{array}{ccc|cccc} 0 & 0 & 0 & 0 & 0 & 0 & 0 \\ 0 & 0 & 0 & 0 & 0 & 0 & 0 \\ 0 & 0 & 0 & 0 & 0 & 0 & 0 \\ 0 & 0 & 0 & 0 & 0 & 0 & 0 \\ \hline 0 & 0 & 0 & 0 & 0 & 0 & 0 \\ 0 & 0 & 0 & 0 & 0 & 0 & 0 \\ 0 & 0 & 0 & 0 & 0 & 0 & 0 \end{array} \right).$$

5.5 Wainbergin yleinen dekodausalgoritmi

Seuraavaksi käsitellään algoritmia, jolla voi dekodata minkä tahansa tulokoodin $C = C_1 \otimes C_2$. Ainoat kriteerit koodeille C_1 ja C_2 ovat, että niille on käytettävissä dekooderit jotka korjaavat kaikki virheet ja pyyhkiymät rajaan $2e + \varepsilon + 1 \leq d_i$ asti [24]. Algoritmilla saadaan korjattua kaikki tulokoodin virheet ja pyyhkiymät, kunhan niiden lukumäärä noudattaa rajaa $2e + \varepsilon + 1 \leq d$ [23].

Algoritmi 5.5.1. *Olkoon $C = C_1 \otimes C_2$ tulokoodi, jossa C_1 on (n_1, k_1, d_1) -koodi ja C_2 on (n_2, k_2, d_2) -koodi. Kanavasta on vastaanotettu sana y .*

1. *Dekoodataan sanan y pystyriivit käyttäen koodin C_1 dekooderia, jolloin saadaan alustavasti dekodattu sana r . Kullekin pystyriiville i määritetään luotettavuuspaino (engl. reliability weight) α_i , jolle*

$$\alpha_i = \begin{cases} \frac{d_1 - 2e_i - \varepsilon_i}{d_1}, & \text{kun } d_1 - 2e_i - \varepsilon_i > 0 \\ 0, & \text{kun } d_1 - 2e_i - \varepsilon_i \leq 0 \\ & \text{tai pystyriivin dekodaus epäonnistuu,} \end{cases}$$

missä e_i on arvio i :nnessä pystyriivissä olleiden virheiden määrästä ja ε_i on pystyriivissä olleiden pyyhkiymien määrä.

2. *Dekoodataan sanan r vaakariivit käyttäen Forneyn dekodausalgoritmia (algoritmi 4.3.1) käyttäen i :nnet bitin luotettavuuspainona painoa α_i , $0 \leq i < n_2$.*

Havainnollistetaan algoritmia esimerkillä.

Esimerkki 5.5.2. *Olkoon C kahden Hammingin $(7, 4)$ -koodin tulokoodi. Hammingin koodin minimietäisyys on 3, joten koodin C minimietäisyys on 9. Oletetaan, että kanavaan on lähetetty nollasana ja kanavasta on vastaanotettu sana*

$$y = \left(\begin{array}{cccc|cccc} 0 & 0 & ? & 0 & 0 & 0 & 0 & 0 \\ 0 & ? & 0 & 0 & 0 & 0 & 0 & 0 \\ 0 & 0 & 0 & 0 & 0 & 0 & 0 & 0 \\ 0 & 1 & 1 & 0 & 0 & 1 & 0 & 0 \\ \hline 0 & 0 & 0 & 0 & 0 & 0 & 0 & 0 \\ 0 & 0 & 0 & 0 & 0 & 0 & 0 & 0 \\ 0 & 0 & 0 & 0 & 0 & 0 & 0 & 0 \end{array} \right).$$

1. Dekoodataan pystyrivit. Ensimmäinen pystyrivi on koodisana. Toisella ja kolmannella pystyrivillä on tapahtunut sekä virhe että pyyhkiymä, joten käy kuten esimerkissä 4.1.2, eikä niitä saa korjattua. Neljäs, viides ja seitsemäs rivi ovat koodisanoja. Kuudes rivi dekodataan nollasanaksi.

Lasketaan näille luotettavuuspainot. Pystyriveillä 1, 4, 5 ja 7 ei tarvinnut korjata yhtään virhettä, joten $\alpha_0 = \alpha_3 = \alpha_4 = \alpha_6 = 1$. Toisella ja kolmannella rivillä dekodaus epäonnistui, joten $\alpha_1 = \alpha_2 = 0$. Kuudes rivi dekodattiin koodisanaaksi korjaamalla yksi koordinaatti, joten $\alpha_5 = \frac{1}{3}$.

Saadaan alustavasti dekodattu sana r ja painovektori α

$$r = \left(\begin{array}{cccc|cccc} 0 & 0 & ? & 0 & 0 & 0 & 0 & \\ 0 & ? & 0 & 0 & 0 & 0 & 0 & \\ 0 & 0 & 0 & 0 & 0 & 0 & 0 & \\ 0 & 1 & 1 & 0 & 0 & 0 & 0 & \\ \hline 0 & 0 & 0 & 0 & 0 & 0 & 0 & \\ 0 & 0 & 0 & 0 & 0 & 0 & 0 & \\ 0 & 0 & 0 & 0 & 0 & 0 & 0 & \end{array} \right) \quad \text{ja} \quad \alpha = (1, 0, 0, 1, 1, \frac{1}{3}, 1).$$

2. Dekoodataan vaakarivit r_i , $0 \leq i \leq 6$, Forneyn algoritmilla käyttäen luotettavuusvektorina painovektoria α . Koodin C_2 minimietäisyys $d = 3$ on pariton, joten korvataan $2j - 2$ bittiä pyyhkiymillä.

$j = 1$:

Korvataan $2j - 2 = 0$ bittiä pyyhkiymillä.

Rivi 1: $r_0^{(1)} = 00?0000$, $c_0^{(1)} = 0000000$:

$$\begin{aligned} d_G(c_0^{(1)}, r_0^{(1)}, \alpha) &= \sum_{i|c_i=r_i} (1 - \alpha_i)/2 + \sum_{i|c_i \neq r_i} (1 + \alpha_i)/2 \\ &= \sum_{i \neq 2} (1 - \alpha_i)/2 + \sum_{i=2} (1 + \alpha_i)/2 \\ &= 0 + \frac{1}{2} + 0 + 0 + \frac{1}{3} + 0 + \frac{1}{2} \\ &= \frac{4}{3} < \frac{d}{2} = \frac{3}{2}, \end{aligned}$$

joten hyväksytään $c_0^{(1)}$.

Rivi 2: Kuten rivi 1.

Rivi 3: $r_2^{(1)} = 0000000$, $c_2^{(1)} = 0000000$:

$$\begin{aligned} d_G(c_2^{(1)}, r_2^{(1)}, \alpha) &= \sum_i (1 - \alpha_i)/2 \\ &= \frac{4}{3} < \frac{d}{2}, \end{aligned}$$

joten hyväksytään $c_2^{(1)}$.

Rivi 4: $r_3^{(1)} = 0110000$, $c_3^{(1)} = 1110000$:

$$\begin{aligned} d_G(c_3^{(1)}, r_3^{(1)}, \alpha) &= \sum_{i \neq 0} (1 - \alpha_i)/2 + \sum_{i=0} (1 + \alpha_i)/2 \\ &= \frac{1}{2} + \frac{1}{2} + 0 + 0 + \frac{1}{3} + 0 + 1 \\ &= \frac{7}{3}. \end{aligned}$$

Tämä on suurempi kuin $d/2$, joten neljännelle riville tarvitaan uusi iteraatio.

Rivi 5: Kuten rivi 3.

Rivi 6: Kuten rivi 3.

Rivi 7: Kuten rivi 3.

$j = 2$:

Korvataan $2j - 2 = 2$ bittiä pyyhkiymillä. Vektorin α koordinaateista pienimmät arvot ovat α_1 ja α_2 , joten pyyhkiemiksi merkitään toinen ja kolmas bitti. Toinen iteraatio tehdään riville neljä, jolla yleistetty etäisyys oli ensimmäisellä iteraatiolla liian suuri.

Rivi 4: $r_3^{(2)} = 0??0000$, $c_3^{(2)} = 0000000$:

$$\begin{aligned} d_G(c_3^{(2)}, r_3^{(2)}, \alpha) &= \sum_{i|c_i=r_i} (1 - \alpha_i)/2 + \sum_{i|c_i \neq r_i} (1 + \alpha_i)/2 \\ &= \sum_{i \notin \{1,2\}} (1 - \alpha_i)/2 + \sum_{i \in \{1,2\}} (1 + \alpha_i)/2 \\ &= \frac{4}{3} < \frac{d}{2}, \end{aligned}$$

joten $c_3^{(2)}$ hyväksytään.

Saadaan dekodattu sana

$$\left(\begin{array}{cccc|cccc} 0 & 0 & 0 & 0 & 0 & 0 & 0 & 0 \\ 0 & 0 & 0 & 0 & 0 & 0 & 0 & 0 \\ 0 & 0 & 0 & 0 & 0 & 0 & 0 & 0 \\ 0 & 0 & 0 & 0 & 0 & 0 & 0 & 0 \\ \hline 0 & 0 & 0 & 0 & 0 & 0 & 0 & 0 \\ 0 & 0 & 0 & 0 & 0 & 0 & 0 & 0 \\ 0 & 0 & 0 & 0 & 0 & 0 & 0 & 0 \end{array} \right).$$

Neljännellä rivillä nähtiin tilanne, jossa vaakarivikoodin eli Hammingin (7,4)-koodin oma dekooderi ei saanut dekodattua sanaa oikein, koska virheitä oli liikaa. Forneyn algoritmin ja biteille annettujen luotettavuuspainojen avulla saatiin kuitenkin virheiden paikat selville ja rivi dekodattua oikein.

6 Lopuksi

6.1 Peittosäteestä

Tulokoodin $C = C_1 \otimes C_2$ minimietäisyys on $d = d_1 d_2$, joten se korjaa kaikki satunnaisvirheet, joiden paino on $\leq (d - 1)/2$. Vaikka tulokoodin minimietäisyys on lähtökoodien minimietäisyyksiin verrattuna suuri, ei se kuitenkaan ole erityisen suuri suhteessa tulokoodin pituuteen. Tulokoodien minimietäisyys onkin pieni verrattuna sellaisiin optimaalisiin koodeihin, joilla on sama pituus ja informaatio-suhde. Jos siis korjataan virheitä vain painoon $(d - 1)/2$ asti, ei tulokoodi ole vaihtoehtoi-siin koodeihin verrattuna erityisen kiinnostava [1]. Tulokoodien rakenne kuitenkin mahdollistaa sen, että tiettyjen virhekuvioiden tapauksessa on mahdollista korjata selvästi enemmänkin virheitä.

Esimerkki 6.1.1. Käsitellään tulokoodia $C_1 \otimes C_2$, jossa sekä C_1 että C_2 ovat Hammingin $(7, 4, 3)$ -koodeja. Tulokoodin minimietäisyys $d = 3 \times 3 = 9$, eli koodi korjaa kaikki virhevektorit painoon 4 asti. Kanavasta on vastaanotettu vektori y , jonka paino on 5 ja kaikki viisi ykköstä ovat samalla vaakarivillä. Osoitetaan, että nollasana on vektoria y lähin koodisana.

Todistus: Jos jokin toinen koodisana x on etäisyydellä $d(x, y) < 5$ vektoria y , niin sanan x Hammingin paino on enintään $5 + d(x, y) < 10$. Koska x on nollasana, niin sen on oltava painoa 9. Jokaisessa nollasta eroavassa koodisanassa ykkösiä on ainakin kolmella pystyrivillä, ja näillä jokaisella vähintään kolme ykköstä. Voidaan päätellä, että sanassa x on sanasta y eroavilla kahdella rivillä vähintään 3 ykköstä. Näin ollen sen Hammingin etäisyys vektorista y on vähintään $3 + 3 + 2 = 8$. Tämä on ristiriita.

Esimerkissä 6.1.1 tarkasteltiin tilannetta, jossa virhekuvioiden paino ylittää rajan $(d - 1)/2$, mutta on silti olemassa yksiselitteinen koodisana, joka on lähimpänä vastaanotettua sanaa y . Tulokoodien dekodeeraamiseen kannattaakin käyttää dekodeeria, jolla pyritään löytämään vastaanotettua vektoria lähin koodisana silloinkin, kun virheiden määrä ylittää minimietäisyyden antaman rajan $(d - 1)/2$. Tulokoodien koko virhekorjauspotentiaalin selvittämiseksi niitä kannattaakin tarkastella minimietäisyyden lisäksi muillakin mittareilla. Määritellään seuraavaksi peittosäde, jonka avulla voidaan määrittää väli, jolle osuvista virheistä osa on korjattavissa.

Määritelmä 6.1.2. Koodin $C \subseteq \mathbb{F}_q^n$ peittosäde on pienin sellainen kokonaisluku ρ , että kaikki joukon \mathbb{F}_q^n vektorit ovat enintään etäisyyden ρ päässä jostakin koodin C sanasta, eli

$$\rho = \rho(C) = \max\{d(x, C) \mid x \in \mathbb{F}_q^n\},$$

jossa $d(x, C) = \min\{d(x, c) \mid c \in C\}$.

Peittosäde mittaa siis etäisyyden koodisanojen ja kauimpien ei-koodisanojen välillä. Virheitä korjaavalla koodilla peittosäde on suurin mahdollinen korjattavissa olevan virheen paino [4].

Pitkille koodeille peittosäteen arviointi on vaikeaa [1]. Tulokoodien peittosäteelle on kuitenkin löydetty seuraava alaraja [4]. Olkoon $C = C_1 \otimes C_2$ tulokoodi ja läh-
tökoodeilla C_1 ja C_2 peittosäteet $\rho(C_1)$ ja $\rho(C_2)$. Tulokoodin peittosäteelle $\rho(C)$ on
voimassa

$$\rho(C) \geq \max\{n_2\rho(C_1), n_1\rho(C_2)\}.$$

Tulokoodin peittosäde ρ on selvästi suurempi kuin sen minimietäisyys, joten ra-
jan $(d - 1)/2$ ja peittosäteen ρ väliin jää suuri joukko mahdollisesti korjattavissa
olevia virheitä. Tulokoodien koko virheenkorjauspotentiaalin saa siis käyttöön ai-
noastaan dekooderilla, joka korjaa virheitä myös yli painon $(d - 1)/2$ [1]. Tällöin osa
painoltaan arvon $(d - 1)/2$ ylittävistä virheistä saadaan korjattua, mutta kommuni-
kaatiosysteemin täytyy sallia bittivirheitä, koska kaikkia tällaisia virheitä ei pystytä
korjaamaan.

6.2 Tulokoodien laajennuksia

Tässä työssä käsitellään tavallisia kaksiulotteisia tulokodeja. Tulokoodin käsitteen
voi laajentaa myös useampaan kuin kahteen ulottuvuuteen käyttämällä useampaa
lähtökoodia. Tällöin koodien C_i tulona saadaan $(\prod_i n_i, \prod_i k_i, \prod_i d_i)$ -koodi. Käyttä-
mällä lähtökoodeina lyhytsanaisia koodeja, joilla on korkea informaationsuhde, saa-
daan koodi, jolla on pitkät koodisanat ja jonka dekooodaus on suhteellisen yksinker-
taista [16].

Moniulotteisten tulokoodien kohdalla päädytään tekemään suurempi määrä de-
koodausoperaatioita, mutta ne tehdään lyhyemmille lähtökoodeille. Esimerkiksi kak-
siulotteisella tulokoodilla tehdään joka iteraatiolla $2n$ lähtökoodin dekooodausoperaa-
tiota ja kolmeulotteisella tulokoodilla vastaavasti $3n^2$. Vertailtaessa kaksi- ja moni-
ulotteista tulokoodia, joilla on sama sanan pituus ja sama informaationsuhde, kaksi-
ulotteinen koodi yleensä voittaa moniulotteisen koodin virheenkorjauskapasiteetissa.
Erot eivät kuitenkaan ole suuria [16].

Tulokoodin voi muodostaa myös ei-binäärisistä lähtökoodeista. Binääristen tu-
lokoodien ongelmana on, että korkean koodisuhteen saavuttamiseksi täytyy käyttää
huomattavan pitkiä koodeja. Esimerkiksi binäärisillä BCH-tulokodeilla, joita on
käytetty muun muassa satelliittikommunikaatiosysteemeissä, sanan pituuden täy-
tyy olla yli 60 000 bittiä, jotta saavutetaan koodisuhde 0.9. Tällöin järjestelmän
käytännön rajoitukset voivat tulla vastaan. Pitkä lohkon pituus lisää dekooodauksen
viivettä ja dekooderin tarvitseman muistin kokoa [26].

Ei-binäärinen tulokoodin lähtökoodeina voi käyttää esimerkiksi Reedin-
Solomonin koodeja. Nämä suoriutuvat hyvin vertailussa BCH-tulokodeja vastaan.
Esimerkiksi kahden RS(15,13)-koodin tulokoodilla on sama koodisuhde ja virheen-
korjauskyky kuin kahden BCH(64,57)-koodin tulokoodilla. RS(13,15)-tulokoodin sa-
nan pituus on 900 bittiä, kun taas BCH(64,57)-tulokoodin sanan pituus on 4096
bittiä, joten RS-tulokoodi on kevyempi dekooodata [26].

Esimerkki 6.2.1. DVD:issä käytetty virheenkorjauskoodi RSPC (Reed Solomon
Product Code) on kahden Reedin-Solomonin koodin tulokoodi. Koodin aakkos-
tona on 256 alkion kunta. Yksi kunnan alkio sisältää 8 bittiä eli yhden tavun

verran informaatiota, ja informaation osana on 32 KB dataa. Informaation osana on 192×172 -matriisi, jonka vaakarivit koodataan (182, 172, 11)-Reedin-Solomonin koodilla. Pystyivät koodataan (208, 192, 17)-Reedin-Solomonin koodilla, jolloin saadaan 208×182 -koodisana [3]. RSPC korjaa enintään 2200 tavun ryöpyn, mikä vastaa 4.6 millimetriä levyn pinnalla [10].

6.3 SISO-dekoodaus

Pehmeän päätöksen SISO-dekoodaus (*soft-input soft-output decoding*) vaatii kova-päätösdekoodaukseen verrattuna huomattavasti enemmän laskentatehoa ja on siksi yleensä hyvin raskas menetelmä. Joillakin koodeilla vaadittu lisälaskentateho kuitenkin kannattaa, sillä SISO-dekoodauksella saadaan dekoodaustuloksiin huomattava parannus. Tulokoodin rakenne on sellainen, että SISO-dekoodausta on mahdollista käyttää ilman, että dekooderista tulee liian monimutkainen. Tulokodeille onkin kehitetty hyviä pehmeän päätöksen dekoodausalgoritmeja, joiden myötä tulokoodit ovat nousseet kilpailukykyisiksi sovelluksissa [16].

Tulokoodien iteratiivisessa SISO-dekoodauksessa dekoodataan vuorotellen pysty- ja vaakarivejä käyttäen näille SISO-dekoodereita. Kun tätä jatketaan useiden iteraatioiden ajan, saadaan jäljelle jäävien virheiden määrä hyvin matalaksi. Kullakin kierroksella dekoodauksessa hyödynnetään sekä kanavasta saatua että toisen suunnan dekoodauksessa laskettua pehmeää informaatiota [11].

Tulokoodin rakenne mahdollistaa hyvin myös dekoodauksen parallelisoimisen, jolloin koodisanan dekoodaus nopeutuu. Tulokoodin koodisanassa jokainen pystyriivi on riippumaton muista pystyriveistä ja samoin jokainen vaakarivi on riippumaton muista vaakariveistä. Tätä ominaisuutta voidaan hyödyntää dekoodauksessa ja dekoodata kukin pystyriivi itsenäisesti, jolloin vastaanotetusta matriisista voidaan käsitellä useita rivejä samanaikaisesti dekooderia monistamalla [11]. Tulokoodien dekoodauksen parallelisoiminen siis suurentaa virtapiirin kokoa ja vaatii lisätehoa, mutta ei ole monimutkaista. Dekoodauksen parallelisoiminen on erityisesti kiinnostava järjestelmissä, joissa kulkee suuria datavirtoja [2].

Eräissä tutkimuksissa dekoodausviive (*decoding latency*) on saatu pienenemään jopa puoleen käyttämällä parallelisoitua dekooderia, jonka pysty- ja vaakarividekooderit päivittävät toisiaan heti rivin dekoodauksen valmistuttua [2]. Sovelluksissa dekoodausviiveeseen vaikuttaa kuitenkin dekoodauksen kompleksisuuden lisäksi erityisesti koodin lomittelusyvyys.

6.4 Yhteenveto

Tulokoodien rakenne on erittäin yksinkertainen, mikä tekee niiden analysoinnista ja implementoinnista helppoa [1]. Tulokoodin tärkeimpiä etuja onkin yksinkertainen koodaus ja dekoodaus [16]. Tulokoodien dekoodaus myös parallelisoituu hyvin, mikä tekee niistä sopivia suurnopeuksiin sovelluksiin [2, 16]. Lisäksi tulokoodi muistuttaa rakenteeltaan koodien ketjuttamista (*concatenated codes*) sekä monikerroksista koodausta (*multilevel coding*), joten tulokodeille kehitetyt ratkaisut ja sovellukset ovat laajennettavissa näille koodausmenetelmille [1].

Tulokoodien minimietäisyys on pieni verrattuna saman pituisiin optimaalisiin

koodeihin, mutta niiden virheenkorjauspotentiaali on verrattain suuri [1]. Tulokoo-
deilla virheenkorjauskyky riippuukin erityisesti virhevektorin kuviosta eikä virheiden
määrästä [16]. Niinpä käytännön sovellusten kannalta ei liene mielekäästä keskittyä
koodaamaan tulokooodeja vain puoleen minimietäisyydestä, vaan kannattaa käyttää
dekooderia, jolla löydetään vastaanotettua sanaa mahdollisimman hyvin vastaava
sana silloinkin, kun virhevektorin paino ylittää rajan $(d - 1)/2$ [1]. Tällöin systeem-
in täytyy kuitenkin sallia bittivirheitä, koska kaikkia rajan $(d - 1)/2$ ylittäviä
virhevektoreita ei voida korjata.

Tulokoodien rakenne sopii iteratiiviseen dekodaukseen, jossa pysty- ja vaakari-
vit dekodataan vuorotellen lähtökoodien dekodausalgoritmeja käyttäen. Iteratiivi-
nen SISO-dekoodaus ei muodostu tulokooodeilla liian raskaaksi sovellusten kannalta,
ja tulokooodeista tulikin suositumpia, kun niille kehitettiin käyttökelpoinen SISO-
dekodausalgoritmi [18]. Iteratiivisella SISO-dekodauksella päästään tulokooodeilla
lähelle optimaalista dekodaukseen [16].

Kvalitatiivisessa testauksessa tulokoodit ovat SISO-dekodauksella tuottaneet
positiivisia tuloksia eräisiin toisiin koodeihin nähden. Esimerkiksi erittäin suuril-
la koodisuhteilla tulokoodien dekodaus on kevyempää ja virheenkorjaus parempaa
kuin PCCC-koodeilla (*parallel concatenation convolutional codes*). Suurilla koodi-
suhteilla tulokooodeilla on pienempi dekodausviive ja parempi virheenkorjaus kuin
LDPC-koodeilla (*low density parity check codes*) [16]. Kilpailevia koodeja on kuiten-
kin laaja kirjo, joten tarvitaan lisätestejä ja enemmän analyysiä, jotta tulokoodien
suorituskyvystä suhteessa muihin koodeihin saadaan selvyys [16].

Kirjallisuutta

- [1] Al-Askary O. (2003) *Iterative Decoding of Product Codes*. Lisensiaatin tutkielma, Kungliga Tekniska Högskolan, Tukholma.
- [2] Argon C., McLaughlin S. W. (2002) *A parallel decoder for low latency decoding of turbo product codes*. 70–42. IEEE Communications Letters, Volume 6, Issue 2.
- [3] Coene W., Pozidis H., van Dijk M., Kahlman J., van Woudenberg R., Stek B., (2001) *Channel Coding and Signal Processing for Optical Recording Systems Beyond DVD*. 682–688. IEEE Transactions on Magnetics, Volume 37, No. 2.
- [4] Cohen G., Karpovsky M., Mattson H., Schatz J. (1985) *Covering radius—Survey and recent results*. 328–343. IEEE Transactions on Information Theory, Volume 31, Issue 3.
- [5] Elias P. (1954) *Error-free Coding*, 29–37. Transactions of the IRE Professional Group on Information Theory, Volume 4, Issue 4.
- [6] Ericson T. (1988) *A simple analysis of the blokh-zyablov decoding algorithm*. 43–57. Lecture Notes in Computer Science, No. 307.
- [7] Forney G. D. Jr. (1966) *Generalized Minimum Distance Decoding*. 125–131. IEEE Transactions on Information Theory, Volume IT-12.
- [8] Golay M. J. E. (1949) *Notes on Digital Coding*. 657. Proceedings of the IRE, Volume 37, Issue 6.
- [9] Hamming R. W. (1950) *Error detecting and error correcting codes*. 147–160. The Bell System Technical Journal, Volume 29, Issue 2.
- [10] Immink K. A. S. (1996) *The digital versatile disc (DVD): System requirements and channel coding*. 483–489. SMPTE Journal.
- [11] Leroux C., Jegou C., Adde P., Gupta D., Jezequel M. (2011) *Turbo Product Code Decoder Without Interleaving Resource: From Parallelism Exploration to High Efficiency Architecture*. 17–29. Journal of Signal Processing Systems, Volume 64, Issue 1.
- [12] Lin S., Costello D. J. Jr. (2004) *Error Control Coding*, toinen painos. Pearson Education, New Jersey.
- [13] van Lint J. H. (1973) *Direct-product codes*. 36–40. Coding Theory. Springer-Verlag, Berliini.
- [14] Massey J. L. (1963) *Threshold decoding*. The MIT Press, Cambridge.
- [15] MacWilliams F. J., Sloane N. J. A. (1997) *The theory of error correcting codes*. North-Holland Publishing Company, Amsterdam, New York, Oxford.

- [16] Mukhtar H., Al-Dweik A., Shami A. (2016) *Turbo Product Codes: Applications, Challenges, and Future Directions*. 3052–3069. IEEE Communications Surveys & Tutorials, Volume 18, No. 4.
- [17] Pfister H. D., Emmadi S. K., Narayanan K. (2015) *Symmetric Product Codes*. 282–290. 2015 Information Theory and Applications Workshop (ITA).
- [18] Pyndiah R. M. (1998) *Near-Optimum Decoding of Product Codes: Block Turbo Codes*. 1003–1010. IEEE Transactions on Communications, Volume 46, Issue 8.
- [19] Reed I. S. (1954) *A class of multiple-error-correcting codes and the decoding scheme*. 38–49. Transactions of the IRE Professional Group on Information Theory, Volume 4, Issue 4.
- [20] Sarwate D. (2016) Viitattu 16.5.2023.
<https://math.stackexchange.com/questions/2068881/extended-hamming-code>
- [21] Shannon C. E. (1948) *A mathematical theory of communication*. 379–423. Bell System Technical Journal, Volume 27, Issue 3.
- [22] Slepian D. (1960) *Some Further Theory of Group Codes*. 1219–1252. Bell System Technical Journal, Volume 39.
- [23] Wainberg S. (1972) *Burst-error and Random-error Correction over q -ary Input, p -ary Output Channels*. Väitöskirja, Polytechnical Institute, Brooklyn, N.Y.
- [24] Wainberg S. (1972) *Error-Erasures Decoding of Product Codes*. 821–823. IEEE Transactions on Information Theory.
- [25] Weber J. H., Abdel-Ghaffar K. A. S. (2001) *Reduced GMD Decoding of Concatenated Codes*. 901–905. GLOBECOM'01. IEEE Global Telecommunications Conference.
- [26] Zhou R., Le Bidan R., Pyndiah R., Goalic A. (2007) *Low-complexity high-rate Reed–Solomon block turbo codes*. 1656–1660. IEEE Transactions on Communications, Volume 55, Issue 9.